



ΠΑΝΕΠΙΣΤΗΜΙΟ ΠΕΙΡΑΙΩΣ  
**UNIVERSITY OF PIRAEUS**

ΤΜΗΜΑ ΧΡΗΜΑΤΟΟΙΚΟΝΟΜΙΚΗΣ ΚΑΙ ΤΡΑΠΕΖΙΚΗΣ ΔΙΟΙΚΗΤΙΚΗΣ

ΠΡΟΓΡΑΜΜΑ ΜΕΤΑΠΤΥΧΙΑΚΩΝ ΣΠΟΥΔΩΝ ΣΤΗ «ΧΡΗΜΑΤΟΟΙΚΟΝΟΜΙΚΗ ΚΑΙ ΤΡΑΠΕΖΙΚΗ ΔΙΟΙΚΗΤΙΚΗ» ΜΕ ΕΙΔΙΚΕΥΣΗ «ΧΡΗΜΑΤΟΔΟΤΗΣΕΙΣ ΚΑΙ ΕΠΕΝΔΥΣΕΙΣ»

**ΜΕΤΑΠΤΥΧΙΑΚΗ ΔΙΠΛΩΜΑΤΙΚΗ ΕΡΓΑΣΙΑ**

**ΘΕΜΑ: “Η ΕΠΙΔΡΑΣΗ ΤΩΝ ΔΗΜΟΣΙΩΝ ΔΑΠΑΝΩΝ ΚΑΙ ΤΩΝ ΠΟΛΙΤΙΚΩΝ ΑΡΧΩΝ ΣΤΗΝ ΑΝΙΣΟΚΑΤΑΝΟΜΗ ΤΟΥ ΕΙΣΟΔΗΜΑΤΟΣ ΚΑΙ ΤΗΝ ΒΙΩΣΙΜΟΤΗΤΑ ΣΤΙΣ ΗΠΑ: Η ΠΕΡΙΠΤΩΣΗ ΤΟΥ COVID19”**

**ΚΑΥΚΟΥΛΑ ΑΛΕΞΑΝΔΡΑ, Α.Μ.: ΜΧΑΝ1911**

**Επιβλέπων καθηγητής: Τσιριτάκης Εμ / Καθηγητής Παν. Πειραιώς**

**Τριμελής επιτροπή: Τσιριτάκης Εμ. / Καθηγητής  
Στεφανάδης Χ / Καθηγητής  
Βολιώτης Δ / Επικ. Καθηγητής**

**Πειραιάς, Οκτώβριος 2021**

## **Ευχαριστίες**

Με την ολοκλήρωση της μεταπτυχιακής διπλωματικής μου εργασίας, θα ήθελα να εκφράσω τις θερμές μου ευχαριστίες σε όλους όσους συνέβαλλαν στην εκπόνησή της.

Ευχαριστώ θερμά τον επιβλέπων καθηγητή μου, κύριο Τσιριτάκη Εμμανουήλ, για την εμπιστοσύνη που μου έδειξε αναθέτοντάς μου το συγκεκριμένο θέμα, την καθοδήγηση, τις υποδείξεις, την επιμονή, τη συνεχή υποστήριξη και το ενδιαφέρον που έδειξε για την υπλοποίηση της εργασίας.

Επίσης, θα ήθελα να ευχαριστήσω θερμά την οικογένειά μου για όλη τη στήριξη και την κατανόησή τους, καθ' όλη τη διάρκεια των μεταπτυχιακών σπουδών μου.

## ΠΕΡΙΛΗΨΗ

Οι δημόσιες δαπάνες και η πολιτική αναμένεται να επηρεάσουν την βιωσιμότητα και την ανισοκατανομή του εισοδήματος των νοικοκυριών και των επιχειρήσεων στις ΗΠΑ. Παρατηρείται ότι η οικονομική ανάπτυξη σε μια χώρα συμβάλλει σημαντικά στην εξάλειψη της φτώχειας και της εισοδηματικής ανισότητας στοχεύοντας σε μια ισορροπία. Στην συγκεκριμένη εργασία, εξετάζεται η πολιτική προτίμηση της πολιτείας και του αντίστοιχου δημάρχου στις ΗΠΑ (ρεπουμπλικανικό ή δημοκρατικό κόμμα) που αφορούν το έτος 2019 για 105 δήμους και χρησιμοποιούνται συνολικά 13 μεταβλητές για την ανάλυση. Επιπλέον, όλες οι χώρες ήρθαν αντιμέτωπες με την παγκόσμια πανδημία που έφερε στην επιφάνεια παθογένειες ακόμα και χωρών όπως οι ΗΠΑ, οι οποίες κατέχουν μεγάλη ισχύ. Αναμφισβήτητα, η πανδημία COVID19 φέρει τεράστιο αντίκτυπο στην οικονομική δραστηριότητα του πλανήτη.

**Λέξεις Κλειδιά:** πολιτική, βιωσιμότητα, ανισοκατανομή, πολιτεία, δήμος, δήμαρχος, ΗΠΑ, πανδημία, κόμμα, ανεργία

## **ABSTRACT**

Public spending and policy are expected to affect the sustainability and income inequality of households and businesses in the USA. It is common fact that economic growth in a country contributes significantly to the eradication of poverty and income inequality by aiming at a balance. In this project we are examining the political preference of the state and the respective mayor in the US (Republican or Democratic party) for the year 2019 for 105 municipalities as well as a total of 13 variables are used for this analysis. In addition, all countries came face to face with the global pandemic that brought to the surface pathogens effecting even countries such as the United States, which possess great economic power. Undoubtedly, the COVID19 pandemic is having a huge impact on global economic activity, nowadays.

## Περιεχόμενα

|   |           |
|---|-----------|
| <b>Κεφάλαιο 1<sup>ο</sup> Εισαγωγή</b>                                | <b>6</b>  |
| <b>Κεφάλαιο 2<sup>ο</sup> Βιβλιογραφική Ανασκόπηση</b>                | <b>8</b>  |
| 2.1 Ανισοκατανομή εισοδήματος φτώχεια και σχέση με ανάπτυξη           | 8         |
| 2.2 Ανισοκατανομή εισοδήματος στις ΗΠΑ                                | 10        |
| 2.3 Ο ρόλος της πανδημίας στην οικονομική δραστηριότητα ανά τον κόσμο | 12        |
| <b>Κεφάλαιο 3<sup>ο</sup> Μεθοδολογία της έρευνας</b>                 | <b>14</b> |
| 3.1 Σκοπός  | 14        |
| 3.2 Δεδομένα  | 14        |
| 3.3 Στατιστική Ανάλυση  | 16        |
| 3.4 Αποτελέσματα  | 16        |
| <b>Κεφάλαιο 4<sup>ο</sup> Συμπεράσματα-Συζήτηση</b>                   | <b>47</b> |
| 4.1 Συμπεράσματα  | 47        |
| 4.2 Συζήτηση  | 49        |
| <b>Βιβλιογραφία</b>   | <b>52</b> |

## Κεφάλαιο 1<sup>ο</sup> Εισαγωγή

Η υπόθεση του ανεστραμμένου U που εισήχθη από τον Kuznets (1955), βασικά προσδιορίζει το επίπεδο οικονομικής δραστηριότητας ως τον κύριο καθοριστικό παράγοντα της εισοδηματικής ανισότητας. Πιο συγκεκριμένα, ισχυρίζεται ότι στα αρχικά στάδια της οικονομικής ανάπτυξης, η εισοδηματική ανισότητα επιδεινώνεται και βελτιώνεται μόνο στα μεταγενέστερα στάδια. Η εμπειρική υποστήριξη για την υπόθεση είναι μάλλον αναμειγμένη, απορρίπτοντας κυρίως την υπόθεση. Ένα άλλο σκέλος της βιβλιογραφίας ωστόσο, υποστηρίζει ότι το εισόδημα ή η μεταβλητότητα της παραγωγής ως μέτρο αβεβαιότητας μπορεί να επιδεινώσει την εισοδηματική ανισότητα.

Η έρευνα των Hausmann και Gavin (1997) είναι ίσως η πρώτη μελέτη που μας παραπέμπει στις δυσμενείς επιπτώσεις της μεταβλητότητας των εισοδημάτων σχετικά με τη διανομή του εισοδήματος υποστηρίζοντας ότι τα φτωχότερα μέλη της κοινωνίας δεν είναι καλά εξοπλισμένα για να απορροφούν τα οικονομικά σοκ ή τις αβεβαιότητες σε σύγκριση με τα πλουσιότερα μέλη. Χρησιμοποιώντας συγχρονικά δεδομένα από 56 χώρες στην Λατινική Αμερική και τις βιομηχανικές οικονομίες, διαπίστωσαν ότι, ενώ ούτε η αύξηση του ΑΕΠ ούτε ο πληθωρισμός είχαν σημαντικές επιπτώσεις στην εισοδηματική ανισότητα, η αστάθεια του πραγματικού ΑΕΠ είχε σημαντικά δυσμενείς επιπτώσεις στην εισοδηματική ανισότητα.

Το ίδιο υποστηρίζεται από τους Caroli και Garcia-Penalosa (2002), οι οποίοι εξέτασαν τις επιπτώσεις της μεταβλητότητας των μισθών σε διαφοροποιήσεις μισθών μεταξύ εργαζομένων με χαμηλή εξειδίκευση και υψηλή εξειδίκευση. Παρόμοια επιχειρήματα επεκτείνονται στην κατανομή του ανθρώπινου κεφαλαίου παρέστη διανομή εισοδήματος από τους Checchi και Garcia-Penalosa (2004) οι οποίοι ανέπτυξαν ένα θεωρητικό μοντέλο δείχνοντας ότι ο αθροιστικός κίνδυνος της παραγωγής καθορίζει το μέσο επίπεδο της εκπαίδευσης και της κατανομής της. Όσο υψηλότερος είναι ο κίνδυνος στην παραγωγή, τόσο μεγαλύτερη είναι η εκπαιδευτική ανισότητα. Άλλες συγχρονικές μελέτες που υποστηρίζουν τις δυσμενείς επιπτώσεις της μεταβλητότητας της παραγωγής στην κατανομή του εισοδήματος είναι των Breen και Garcia-Penalosa (2005) και Laursen και Mahajan (2005).

Ενώ οι παραπάνω μελέτες έχουν χρησιμοποιήσει συγχρονικά δεδομένα από διαφορετικές χώρες, δύο μελέτες έχουν χρησιμοποιήσει δεδομένα πινάκων σε όλες τις χώρες και με την πάροδο του χρόνου. Οι Calderon και Yeyati (2009) χρησιμοποίησαν δεδομένα από 75 χώρες για την περίοδο 1970-2005 (παρατηρήσεις 5 ετών) για να δείξουν ότι ακόμη και σε ένα μοντέλο πινάκων, η μεταβλητότητα της παραγωγής έχει δυσμενείς επιπτώσεις στην εισοδηματική ανισότητα που μετράται με τον συντελεστή GINI. Τα ευρήματά τους δεν φαίνεται να είναι ευαίσθητα σε διαφορετικά μέτρα μεταβλητότητας, ούτε σε διαφορετικά μέτρα εισοδηματικής ανισότητας. Αξιολογούν επίσης τις ασύμμετρες επιδράσεις των διακυμάνσεων της παραγωγής, αναθέτοντας ψευδο-μεταβλητές σε πτώσεις της παραγωγής και σε αυξήσεις της παραγωγής για να δείξουν ότι η

μεταβλητότητα της παραγωγής ασκεί ασύμμετρες επιδράσεις στην κατανομή του εισοδήματος.

Τέλος, οι Huang κ.ά. (2015) επέκριναν όλες τις παραπάνω μελέτες επειδή δεν αξιοποίησαν την πρόσφατη πρόοδο στις τεχνικές μοντελοποίησης της διόρθωσης σφαλμάτων και χρησιμοποίησαν μια προσέγγιση διόρθωσης σφαλμάτων με πίνακες αντί της συμβατικής μεθόδου χρήσης συγχρονικών δεδομένων. Τα δεδομένα τους είναι διαφορετικά από αυτά των Calderon και Yeyati (2009), καθώς χρησιμοποιούν ετήσια δεδομένα από τις 48 πολιτείες των ΗΠΑ από το 1945 έως το 2004 που σχηματίζουν έναν ισορροπημένο πίνακα με  $N = 48$  και  $T = 60$ . Τα ευρήματά τους δεν διαφέρουν από οποιαδήποτε από τις προηγούμενες μελέτες, δεδομένου ότι διαπιστώνουν επίσης ότι οι διακυμάνσεις στο εισόδημα έχουν αρνητικές επιπτώσεις στην κατανομή του εισοδήματος στις ΗΠΑ και το συμπέρασμα αυτό δεν επηρεάζεται από τις διαφορετικές μετρήσεις της εισοδηματικής ανισότητας ούτε από τις διαφορετικές μετρήσεις της μεταβλητότητας (Bahmani-Oskooee & Motavallizadeh-Ardakani, 2018).

Οι μελέτες πινάκων που εξετάστηκαν παραπάνω πάσχουν από μεροληψία καθώς αυτό που ισχύει σε μία μονάδα συγχρονικών δεδομένων μπορεί να μην ισχύει αναγκαστικά σε άλλη μονάδα. Για την επίλυση αυτού του ζητήματος, τηρήθηκε μόνο η μοντελοποίηση των χρονοσειρών και επανεξετάστηκε η σχέση μεταξύ εισοδηματικής αστάθειας και εισοδηματικής ανισότητας σε κάθε πολιτεία των ΗΠΑ. Αυτό ήταν πλέον δυνατό, δεδομένου ότι ο Frank (2009) έχει επεκτείνει το σύνολο των δεδομένων του έως το 2013, παρέχοντας 68 ετήσιες παρατηρήσεις για κάθε πολιτεία.

Δεδομένου ότι οι δύο μεταβλητές θα μπορούσαν να είναι στάσιμες ή μη στάσιμες, η κατάλληλη προσέγγιση θα είναι η γραμμική προσέγγιση ARDL των Pesaran κ.ά. (2001). Μέσα στο πλαίσιο των χρονοσειρών ένα πρόσθετο βήμα είναι η αξιολόγηση των ασύμμετρων επιδράσεων της μεταβλητότητας στην κατανομή του εισοδήματος χρησιμοποιώντας τη μη γραμμική προσέγγιση ARDL των Shink κ.ά. (2014) που επιτρέπει επίσης την ανίχνευση της ασύμμετρης αιτιότητας. Πρόκειται για μια εύλογη διερεύνηση, δεδομένου ότι ο ρυθμός με τον οποίο η εισοδηματική ανισότητα ανταποκρίνεται σε αύξηση της εισοδηματικής αστάθειας θα μπορούσε να είναι διαφορετικός από τον ρυθμό με τον οποίο ανταποκρίνεται στη μείωση. Πράγματι, εάν τα φτωχότερα μέλη της κοινωνίας δεν μπορούν να απορροφήσουν τα οικονομικά σοκ ή τις αβεβαιότητες τόσο εύκολα όσο τα πιο πλούσια μέλη και οι δύο ομάδες θα αντιδράσουν διαφορετικά στην αυξημένη αβεβαιότητα σε σύγκριση με τη μειωμένη αβεβαιότητα, εξ ου και η ασύμμετρη αντίδραση.

## Κεφάλαιο 2<sup>ο</sup> Βιβλιογραφική Ανασκόπηση

### 2.1 Ανισοκατανομή εισοδήματος φτώχεια και σχέση με ανάπτυξη

Η φτώχεια μπορεί να προσδιοριστεί από το ποσοστό του πληθυσμού που επιβιώνει με λιγότερα από 1,25 \$ την ημέρα. Ο συνολικός αριθμός των ανθρώπων που επιβιώνει με 1,25 \$ την ημέρα παγκοσμίως θα παραμείνει στο 5-7% περίπου έως το 2030, εάν δεν υπάρξει αλλαγή στην κατανομή εισοδήματος σε χώρες όπου ακόμη και ο ρυθμός οικονομικής ανάπτυξης είναι αισιόδοξος (Anderson, 2018).

Επίσης, η παγκόσμια βάση δεδομένων για την ακραία φτώχεια ανέφερε στην αναθεωρημένη έκθεση του 2017 ότι ένα άτομο θεωρείται ότι ζει σε ακραία φτώχεια εάν ζει με λιγότερα από 1,90 διεθνή δολάρια (\$) την ημέρα. Πραγματοποιήθηκε πρόσφατα μια μελέτη σχετικά με τις επιπτώσεις της οικονομικής ανάπτυξης στη φτώχεια, ως αποτέλεσμα της άνισης κατανομής του πλούτου σε επιλεγμένες χώρες-μέλη του Οργανισμού Ισλαμικής Συνεργασίας (OIC) κατά την περίοδο 1990-2017 με τη χρήση μεθόδου δεδομένων πίνακα.

Τα ευρήματα δείχνουν ότι η χρηματοοικονομική ανάπτυξη, το μέγεθος της κυβέρνησης, ο πληθωρισμός, η εξωστρέφεια και η οικονομική ανάπτυξη ήταν οι κύριοι αποτελεσματικοί παράγοντες στη φτώχεια. Η χρηματοοικονομική ανάπτυξη έχει θετική επίδραση στην ανισότητα των εισοδημάτων. Επιπλέον, το μέγεθος της κυβέρνησης και ο πληθωρισμός αυξάνουν τη φτώχεια, αν και η φτώχεια εξαλείφεται από την οικονομική ανάπτυξη και την εξωστρέφεια (Motaghietal., 2020).

Επίσης, οι Jung και Cha (2020) απέδειξαν τον θετικό αντίκτυπο στην οικονομική ανάπτυξη της εισοδηματικής ανισότητας στην Κίνα. Επιπλέον, πρόσφατα ο Ngangu(2020) διενήργησε μια ανάλυση σε επίπεδο ομάδων σχετικά με τη χρηματοοικονομική ανάπτυξη και τις διαφορές εισοδήματος σε 40 αναπτυσσόμενες χώρες από το 1995 έως το 2016 και βρήκε μια σχέση μεταξύ της ανάπτυξης των χρηματοπιστωτικών αγορών και του ανοίγματος του εμπορίου, τα οποία αποτελούν ένδειξη της παγκοσμιοποίησης και της εισοδηματικής ανισότητας.

Η οικονομική ανάπτυξη αύξησε την εισοδηματική ανισότητα στη Λατινική Αμερική, ενώ είχε σχέση σχήματος U στην υποσαχάρια Αφρική. Μια άλλη μελέτη ανέφερε ότι η οικονομική ανάπτυξη και η ένταξη ανακουφίζουν τη φτώχεια και την ευπάθεια στη φτώχεια στις αγροτικές περιοχές σε μεγαλύτερο βαθμό από ό,τι στις αστικές περιοχές (Koomsonetal., 2020).

Η οικονομική ανάπτυξη συμβάλλει σημαντικά στην εξάλειψη της φτώχειας και της εισοδηματικής ανισότητας. Μια έρευνα των Bouincha και Karim(2018) εξέτασε τη σχέση αιτιότητας μεταξύ οικονομικής ανάπτυξης και ανισότητας χρησιμοποιώντας δεδομένα από το 1990 έως το 2015 από 189 χώρες. Τα ευρήματά τους δείχνουν ότι η οικονομική ανάπτυξη συσχετίζεται αρνητικά με την ανισότητα, αλλά υπάρχει μια θετική σχέση στις μέτρια ανεπτυγμένες και αναπτυσσόμενες χώρες. Επιπλέον, εάν η ανάπτυξη μιας χώρας έχει φτάσει στο βέλτιστο επίπεδο, τότε έχει μειώσει την ανισότητα. Μια άλλη έρευνα



κατευθύνθηκε στη διερεύνηση της σχέσης μεταξύ της εισοδηματικής ανισότητας και της οικονομικής ανάπτυξης με δύο δείγματα δεδομένων. Το ένα είναι ένα πλήρες δείγμα 158 χωρών και το δεύτερο είναι ένα δείγμα 86 χωρών μεσαίου εισοδήματος χρησιμοποιώντας την δοκιμή αιτιότητας GMM και Granger. Διαπιστώθηκε ότι υπάρχει αιτιότητα από την οικονομική ανάπτυξη στην ανισότητα εισοδήματος και αναφέρθηκε ότι η εισοδηματική ανισότητα σχετίζεται αρνητικά με την οικονομική ανάπτυξη στις οικονομίες μεσαίου εισοδήματος (Voetal., 2019)

Η επίδραση της παγκοσμιοποίησης στην ανισότητα διερευνήθηκε στους Philips και συν. (2019) και βρέθηκε μια σημαντική επίδραση της παγκοσμιοποίησης στα εισοδηματικά στρώματα. Αυτές οι επιδράσεις διαφέρουν σε χώρες με σχετικούς συντελεστές χρηματοδότησης. Μια άλλη μελέτη διερεύνησε την επίδραση της παγκοσμιοποίησης στην εισοδηματική ανισότητα κατά την περίοδο 1975-2018 στο Μπαγκλαντές και τα ευρήματα δείχνουν ότι οι μεταβλητές της παγκοσμιοποίησης (όπως εισαγωγές, εξαγωγές, εισροές εμβασμάτων, άμεσες ξένες επενδύσεις (ΑΞΕ) και ξένα βοήθεια) έχουν μια μακρά σημαντική επίπτωση στην εισοδηματική ανισότητα. Επιπλέον, μακροπρόθεσμα, οι εισροές εμβασμάτων, οι ΑΞΕ και οι εξαγωγές αποδυναμώνουν τη διανομή εισοδήματος, ενώ οι εισαγωγές και η οικονομική ενίσχυση βελτιώνουν την κατανομή εισοδήματος στο Μπαγκλαντές (Uddin, 2020).

Οι λειτουργίες της κυβέρνησης, η αλληλεπίδραση και οι τρόποι εξυπηρέτησης του κοινού αλλάζουν συνεχώς λόγω των τεχνολογικών εξελίξεων. Από αυτή την άποψη, οι τεχνολογίες πληροφοριών και επικοινωνιών (ΤΠΕ) χρησιμοποιούνται σε παγκόσμιο επίπεδο για την αποτελεσματική παροχή πληροφοριών και υπηρεσιών στους ανθρώπους. Ο δείκτης ανάπτυξης της ηλεκτρονικής διακυβέρνησης (EGDI) αναφέρεται στην ικανότητα διαφορετικών χωρών και στην ετοιμότητά τους να χρησιμοποιούν τις τεχνολογίες πληροφοριών και επικοινωνιών (ΤΠΕ) στη διαχείριση σε δημοτικό και κρατικό επίπεδο. Το κατά κεφαλήν εισόδημα των κρατικών δαπανών παρουσίασε αρνητική επίδραση στη φτώχεια, ενώ η οικονομική ανάπτυξη παρουσίασε θετικό αντίκτυπο (Sasana & Kusuma, 2018).

Επιπλέον, οι Anderson κ.ά.(2018) διαπίστωσαν ότι οι κυβερνητικές δαπάνες και η φτώχεια έχουν, κατά μέσο όρο, λιγότερες αρνητικές συσχετίσεις στις υποσαχάριες αφρικανικές χώρες, ενώ περισσότερες αρνητικές συσχετίσεις υπάρχουν στις χώρες της Κεντρικής Ασίας και της Ανατολικής Ευρώπης από ότι σε άλλες περιοχές.

Η ποιότητα των θεσμών (διακυβέρνηση) προτείνεται από τους Παγκόσμιους Δείκτες Διακυβέρνησης της Παγκόσμιας Τράπεζας. Οι ΠΔΔ περιλαμβάνουν έξι δείκτες: φωνή και λογοδοσία, πολιτική σταθερότητα και απουσία βίας, αποτελεσματικότητα της κυβέρνησης, ποιότητα κανονιστικών ρυθμίσεων, κράτος δικαίου και έλεγχο της διαφθοράς. Μια μελέτη διαπίστωσε ότι οι δείκτες διακυβέρνησης επηρεάζουν αρνητικά την ανισότητα εισοδήματος και πλούτου στο Πακιστάν (Iqbal&Mehtar , 2015).

Η θεσμική ποιότητα (διακυβέρνηση) περιλαμβάνει κυβερνητικές πολιτικές για τη διάθεση πόρων για την ανακούφιση της φτώχειας και τη μείωση της

οικονομικής ανισότητας. Τα μικτά αποτελέσματα που αναφέρθηκαν απέδειξαν ότι η διακυβέρνηση έχει αρνητικό αντίκτυπο στην εισοδηματική ανισότητα στις αναδυόμενες αγορές και στις αναπτυσσόμενες χώρες, ενώ στις ανεπτυγμένες χώρες έχει θετικό αντίκτυπο (Huangetal., 2018).

Η έρευνα του Akobeng (2017) εξέτασε την επίδραση του ακαθάριστου σχηματισμού παγίου κεφαλαίου στη φτώχεια, χρησιμοποιώντας τη δυναμική αμφίδρομη δοκιμή GMM για την ανάλυση του συνόλου δεδομένων των 41 υποσαχάρων αφρικανικών χωρών από το 1981 έως το 2010. Η φτώχεια μειώθηκε με τον ακαθάριστο σχηματισμό παγίου κεφαλαίου. Θεωρητικά, ο ακαθάριστος σχηματισμός παγίου κεφαλαίου αναγνωρίζεται ως κρίσιμος παράγοντας για τη χαλάρωση στα μέτρα απασχόλησης και την οικονομική ανάπτυξη, τη βελτίωση της κοινωνικοοικονομικής ανάπτυξης και τη μείωση της φτώχειας. Μια μελέτη διαπίστωσε ότι η αύξηση του πληθυσμού έχει σημαντικό θετικό αντίκτυπο στην εισοδηματική ανισότητα (Bekele&Merid, 2020). Ο πληθωρισμός και η εισοδηματική ανισότητα έχουν μια μη συνεπή και αντιφατική σχέση. Ορισμένες μελέτες διαπίστωσαν ότι ο πληθωρισμός επηρεάζει θετικά την εισοδηματική ανισότητα και τη φτώχεια (Meoetal., 2018).

## **2.2 Ανισοκατανομή εισοδήματος στις ΗΠΑ**

Το 1955 ο Kuznets (1955) εντόπισε το επίπεδο εισοδήματος ή οικονομικής δραστηριότητας ως τον κύριο καθοριστικό παράγοντα της εισοδηματικής ανισότητας. Απέδειξε ότι στα πρώτα στάδια ανάπτυξης, η εισοδηματική ανισότητα επιδεινώνεται και όταν οι εργαζόμενοι μεταναστεύουν από τις αγροτικές στις αστικές περιοχές βελτιώνεται. Εφόσον το πρότυπο της κίνησης της ανισότητας με την πάροδο του χρόνου μοιάζει με ανεστραμμένο U, είναι γνωστό ως η υπόθεση του ανεστραμμένου U και αποτέλεσε πρόκληση για πολλούς ερευνητές να επαληθεύσουν την υπόθεση εμπειρικά. Αντ' αυτού, αυτό που ήταν εύκολο να επαληθευτεί στη βιβλιογραφία είναι η άνιση μεταβλητότητα επίδραση του εισοδήματος ή της παραγωγής. Έχει υποστηριχθεί ότι, δεδομένου ότι η εισοδηματική μεταβλητότητα εισάγει αβεβαιότητα στην οικονομία, τα έσοδα ανακατανέμονται από τους εργαζόμενους στους ιδιοκτήτες κεφαλαίων ή από τους φτωχούς στους πλούσιους.

Προηγούμενες έρευνες δοκίμασαν και κυρίως επαλήθευσαν τις επιδράσεις ανισότητας της μεταβλητότητας του εισοδήματος στην κατανομή του εισοδήματος χρησιμοποιώντας είτε συγχρονικά δεδομένα είτε δεδομένα πίνακα που συγκεντρώθηκαν από πολλές χώρες σε ορισμένες χρονικές περιόδους. Μια μελέτη πινάκων χρησιμοποίησε έναν εξισορροπημένο πίνακα δεδομένων από 48 πολιτείες των ΗΠΑ από το 1945 έως το 2004 και κατέληξε στο συμπέρασμα ότι η εισοδηματική μεταβλητότητα στις ΗΠΑ επιδεινώνει την εισοδηματική ανισότητα. Τα δεδομένα αυτής της μελέτης που προέρχονται από τον Frank (2009) έχουν πλέον επεκταθεί έως και το 2013, αποδίδοντας παρατηρήσεις 69 χρονοσειρών για κάθε πολιτεία. Αυτό επιτρέπει την εισαγωγή της πρώτης μελέτης χρονοσειρών με την επίδραση της μεταβλητότητας του εισοδήματος στην

κατανομή του εισοδήματος. Επιπλέον, η προσέγγιση των χρονοσειρών αφαιρεί τη λεγόμενη μεροληψία συσσωμάτωσης από την προαναφερθείσα μελέτη πίνακα. Δηλαδή, το συμπέρασμα ότι η εισοδηματική αστάθεια των ΗΠΑ έχει επιδεινώσει την εισοδηματική ανισότητα μπορεί να ισχύει για ορισμένες πολιτείες αλλά όχι για όλες τις πολιτείες.

Ως εκ τούτου, σε αυτή τη μελέτη χρησιμοποιούμε τα εκτεταμένα δεδομένα του Frank (2009) που καθορίζονται σε πολιτειακό επίπεδο για να αξιολογήσουμε τον αντίκτυπο της αστάθειας του εισοδήματος σε ένα μέτρο εισοδηματικής ανισότητας (GINI) σε κάθε μία από τις 50 πολιτείες συν την περιφέρεια της Κολούμπια. Χρησιμοποιείται η γραμμική προσέγγιση ARDL των Pesaran κ.ά για τη μοντελοποίηση της διόρθωσης σφαλμάτων και τη συνένωση ώστε να διερευνηθούν οι βραχυπρόθεσμες και οι μακροπρόθεσμες επιπτώσεις της μεταβλητότητας ως προς τον συντελεστή GINI για να αποδειχθεί ότι βραχυπρόθεσμα η εισοδηματική μεταβλητότητα προκαλεί κατανομή εισοδήματος σε εννέα πολιτείες (π.χ. Αλάσκα, Αριζόνα, Τζώρτζια, Μέριλαντ, Μασαχουσέτη, Μιζούρι, Νιου Χάμσαϊρ, Πενσυλβάνια και Νότια Ντακότα). Κρίνοντας από το άθροισμα των βραχυπρόθεσμων εκτιμήσεων, οι σωρευτικές επιδράσεις της μεταβλητότητας στο GINI ήταν μη εξισορροπητικές στην Αλάσκα, την Αριζόνα και τη Νότια Ντακότα, αλλά εξισορροπητικές για τις υπόλοιπες έξι πολιτείες. Ωστόσο, σε καμία από τις πολιτείες δεν παρατηρούνται βραχυπρόθεσμες επιδράσεις που να διαρκούν και να εξελίσσονται σε μακροπρόθεσμες σημαντικές επιδράσεις.

Καθώς υπήρχε υποψία ότι η προσαρμογή της εισοδηματικής μεταβλητότητας θα μπορούσε να είναι μη γραμμική, αξιοποιήθηκε επίσης η μη γραμμική προσέγγιση ARDL των Shin κ.ά. (2014) που επιτρέπει την αξιολόγηση της πιθανότητας ασύμμετρων επιδράσεων της εισοδηματικής μεταβλητότητας. Μόλις η αύξηση της μεταβλητότητας διαχωριστεί από τις πτώσεις, διαπιστώνεται ότι, πράγματι, οι επιπτώσεις της μεταβλητότητας στον GINI έχουν ασύμμετρο χαρακτήρα. Δηλαδή, ανακαλύπτονται βραχυπρόθεσμες σωρευτικές ασύμμετρες επιδράσεις σε 39 πολιτείες, αλλά βραχυπρόθεσμη ασύμμετρη αιτιότητα σε 31 πολιτείες, μια σημαντική βελτίωση σε σύγκριση με τα αποτελέσματα από τα γραμμικά μοντέλα. Ωστόσο, οι βραχυπρόθεσμες επιδράσεις μεταφράζονται σε μακροπρόθεσμες σημαντικές, ουσιαστικές και ασύμμετρες επιδράσεις σε 16 πολιτείες. Διαπιστώθηκε ότι σε εννέα πολιτείες, Φλόριντα, Ιντιάνα, Κάνσας, Λουιζιάνα, Μίσιγκαν, Μοντάνα, Νεμπράσκα, Νότια Ντακότα και Γουαϊόμινγκ η αυξημένη εισοδηματική μεταβλητότητα επιδεινώνει την εισοδηματική ανισότητα και σε 10 πολιτείες, Άινταχο, Ιντιάνα, Μίσιγκαν, Μισισιπή, Μιζούρι, Νεβάδα, Νιου Χάμσαϊρ, Ρόουντ Άιλαντ, Δυτική Βιρτζίνια και Γουαϊόμινγκ η μειωμένη μεταβλητότητα επιδεινώνει την ανισότητα. Επιπλέον, διαπιστώθηκε ότι στην Αριζόνα, το Ντέλαγουερ, το Αϊντάχο, το Μέιν, τη Μινεσότα, τη Νέα Υόρκη, το Τέξας και το Βερμόντ, η διαδικασία προσαρμογής στο μακροπρόθεσμο επίπεδο είναι μη γραμμική.

Αυτά τα ευρήματα σε πολιτειακό επίπεδο είναι σαφώς επικαλυμμένα εάν ληφθούν υπόψη και τα δύο μοντέλα χρησιμοποιώντας τα συγκεντρωτικά δεδομένα από τις ΗΠΑ. Τα αποτελέσματα των ΗΠΑ ως σύνολο δεν αποκαλύπτουν σημαντικές επιπτώσεις της εισοδηματικής μεταβλητότητας στον

συντελεστή GINI. Η ανάλυση των δεδομένων ανά πολιτεία απέδωσε σημαντικές ασύμμετρες επιδράσεις σε 16 πολιτείες. Τα ενδιαφέροντα ασύμμετρα ευρήματα υπονοούν ότι στις ΗΠΑ η μείωση του εισοδήματος ή η οι διακυμάνσεις του συνολικού προϊόντος δεν συμβάλει στη μείωση της εισοδηματικής ανισότητας. Άλλες πολιτικές, όπως η μείωση των φόρων εισοδήματος σε ανθρώπους με χαμηλό εισόδημα και η αύξηση των φόρων στους πλούσιους καθώς και άλλες πολιτικές κοινωνικής πρόνοιας θα μπορούσε να αποτελέσει τον μόνο τρόπο αντιμετώπισης της άνισης κατανομής του εισοδήματος.

### **2.3 Ο ρόλος της πανδημίας στην οικονομική δραστηριότητα ανά τον κόσμο**

Η πανδημία COVID-19 είχε τεράστιο αντίκτυπο στην οικονομική δραστηριότητα σε όλο τον κόσμο. Για την αντιμετώπιση των οικονομικών συνεπειών της πανδημίας, οι περισσότερες κυβερνήσεις έχουν χρησιμοποιήσει έναν συνδυασμό στήριξης οικογενειακού εισοδήματος και χρηματοπιστωτικών διευκολύνσεων για τις επιχειρήσεις. Ειδικότερα, έχουν υιοθετηθεί διευρυμένα συστήματα ασφάλισης σε περίπτωση ανεργίας και επόμενα συστήματα για τη σταθεροποίηση του εισοδήματος των εργαζομένων και τον περιορισμό των επιπτώσεων της κρίσης στην κατανάλωση και την οικονομική ανισότητα. Η ανησυχία σχετίζεται με το ότι μια αύξηση της ανισότητας μπορεί να διαβρώσει την κοινωνική συνοχή και να ωθήσει την υποστήριξη για λαϊκιστικές ή ακόμη και αντιδημοκρατικές απόψεις.

Ωστόσο, το πόσο κατάλληλες και αποτελεσματικές είναι αυτές οι πολιτικές παραμένει ασαφές, κυρίως λόγω της έλλειψης αξιόπιστων δεικτών που να επιτρέπουν την παρακολούθηση της οικονομικής δραστηριότητας με χρονική ευκρίνεια. Πράγματι, τα περισσότερα επίσημα στατιστικά στοιχεία για την ανισότητα διατίθενται μόνο με ετήσια συχνότητα και συχνά με μεγάλες καθυστερήσεις. Αυτό περιορίζει την ικανότητα των υπευθύνων χάραξης πολιτικής να προσαρμόζουν γρήγορα τις αντιδράσεις τους στην προσπάθεια «εξομάλυνσης της καμπύλης ύφεσης» μετά την εξομάλυνση της καμπύλης μόλυνσης (PO, 2020).

Η COVID-19 προώθησε νέες διεθνείς πρωτοβουλίες για την παρακολούθηση της οικονομικής δραστηριότητας σε πραγματικό χρόνο (Cicala, 2020). Οι ερευνητές αναλύουν τον αντίκτυπο των πακέτων οικονομικών κινήτρων για τον μετριασμό της επίδρασης της επιδημίας COVID-19 στην οικονομική δραστηριότητα χρησιμοποιώντας διοικητικά δεδομένα υψηλής συχνότητας. Δύο παραδείγματα είναι η επίδραση στη συνολική απασχόληση του προγράμματος προστασίας της μισθοδοσίας των ΗΠΑ (Autor κ.ά., 2020) ή η επίδραση στην κατανάλωση των τονωτικών πληρωμών που στέλνει η Διοίκηση των ΗΠΑ (Bakeretal., 2020) χρησιμοποιώντας τα δεδομένα από χρηματοοικονομικές συγκεντρώσεις και εφαρμογές υπηρεσιών (Olafsson & Pagel, 2018)

Μια χαρακτηριστική πτυχή των πανδημιών είναι ο αντίκτυπός τους στην ανισότητα (Scheidel, 2018). Ωστόσο, τα επίσημα μέτρα ανισότητας υπολογίζονται με μεγάλες καθυστερήσεις και χαμηλή συχνότητα. Στο πλαίσιο

μιας ταχέως κινούμενης πανδημίας, είναι σημαντικό να υπάρχει ένα μέτρο ανισότητας υψηλής συχνότητας για την αξιολόγηση της ελαφρυντικής επίδρασης των μέτρων πολιτικής. Αυτό είναι ιδιαίτερα σημαντικό σε χώρες, όπως η Ισπανία, που υπέστησαν έντονα την οικονομική κρίση του 2008 και από τότε έχουν σημειώσει σημαντική αύξηση της ανισότητας. Αυτή η διαδικασία αύξησε την υποστήριξη των λαϊκιστικών κομμάτων, τα οποία ενώ το 2008 δεν εκπροσωπήθηκαν στο κοινοβούλιο και το 2020 αντιπροσώπευαν το 32,8% των εκπροσώπων στο Κογκρέσο. Είναι ενδιαφέρον να παρατηρήσουμε ότι η ανισότητα αυξήθηκε σημαντικά από το 2008 έως το 2012, αλλά η διαδικασία της αυξανόμενης πολιτικής εκπροσώπησης των λαϊκιστικών κομμάτων συμβαίνει κυρίως μετά το 2013, παρόλο που η ανισότητα μειώθηκε από το 2013. Αυτό φαίνεται να σημαίνει ότι μπορεί να υπάρχει ένα επίπεδο κατωφλίου στην ανισότητα που, μόλις ξεπεραστεί, μπορεί να προκαλέσει ένα σύνολο λαϊκιστικών παραπόνων που επιμένουν με την πάροδο του χρόνου, δημιουργώντας αυξανόμενη υποστήριξη για τα λαϊκιστικά κόμματα.

Επομένως, μια περαιτέρω αύξηση της ανισότητας, ακόμη και βραχυπρόθεσμα, θα μπορούσε να συνεπάγεται την επίτευξη ενός επιπέδου ανισότητας πάνω από το όριο που προκαλεί μελλοντικές εντάσεις και πολιτικές αναταραχές. Θα μπορούσε επίσης να πυροδοτήσει μια διαδικασία αυξανόμενης υποστήριξης στα λαϊκιστικά κόμματα που θα μπορούσαν εύκολα να προκαλέσουν σημαντική επιδείνωση της θεσμικής σταθερότητας. Τελικά, αυτό θα μπορούσε να έχει μακροπρόθεσμη επίδραση στις οικονομικές επιδόσεις.

## **Κεφάλαιο 3<sup>ο</sup> Μεθοδολογία της έρευνας**

### **3.1 Σκοπός**

Σκοπός της παρούσας έρευνας είναι να μελετηθεί η επίδραση των δημόσιων δαπανών και των πολιτικών αρχών στην ανισοκατανομή του εισοδήματος και την βιωσιμότητα στις ΗΠΑ. Για τον σκοπό αυτό επιλέχθηκαν για την αντιπροσώπευση της ανισοκατανομής εισοδήματος ο δείκτης Gini και για την βιωσιμότητα οι δείκτες της δημοτικής ισότητας, το ποσοστό των ατόμων που ζει κάτω από το όριο της φτώχειας, το ποσοστό των παιδιών που ζουν δύο φορές κάτω από το όριο της φτώχειας, το ποσοστό των ατόμων ηλικίας από 16 – 64 ετών που ζει κάτω από το όριο της φτώχειας και εργάζεται πλήρως, οι πληρωμένες ή όχι άδειες ασθενείας, η γονεϊκή άδεια, το ποσοστό των ατόμων με ασφάλεια υγείας και το ποσοστό των μαθητών που εισάγονται σε ηλικία 3 – 4 ετών στο σχολείο. Επιπλέον, για τις δημόσιες δαπάνες χρησιμοποιούνται ως αντιπροσωπευτικές μεταβλητές το ποσοστό ανάπτυξης του ΑΕΠ, το ποσοστό ανεργίας, αν ο δήμος και ο δήμαρχος ανήκουν στο Ρεπουμπλικανό ή στο Δημοκρατικό κόμμα.

### **3.2 Δεδομένα**

Τα δεδομένα της ανάλυσης αφορούν το έτος 2019 για 105 δήμους και χρησιμοποιούνται συνολικά 13 μεταβλητές όπως αυτές φαίνονται στον πίνακα 3.1 (δεν εμφανίζονται οι ψευδομεταβλητές που αντιπροσωπεύουν σε ποιο κόμμα ανήκουν ο δήμος και ο δήμαρχος):

Πίνακας 3.1-Μεταβλητές ανάλυσης

|                               |                           |  |                            |
|-------------------------------|---------------------------|--|----------------------------|
| <b>sdg10v2_gini</b>           | Ginicoefficient           | Gini coefficient measures the degree of income inequality on a 0-1 scale. The more equal the income distribution, the lower the Gini coefficient.  | Ratio (best 0-1 worst)     |
| <b>sdg10v8_MEIs core</b>      | Municipal Equality Index  | Municipal Equality Index score assessing LGBTQ inclusivity of laws, policies, and services. City-level data for main city used as a proxy for MSA.   | Index (worst 0 - 100 best) |
| <b>sdg1v1_poverty</b>         | Living below poverty line | Percentage of population living below national poverty line  | %                          |
| <b>sdg1v2_childpoverty</b>    | Childhood poverty         | Percentage of children living below twice the poverty line   | %                          |
| <b>sdg1v3_workingpoor</b>     | Working poor              | Percentage of population aged 16-64 living below the poverty level and working full-time, year-round   | %                          |
| <b>sdg1v4_sickleave</b>       | Sick leave policy         | Paid sick leave policy, approved or enacted as of 2019 (0= no, 1= yes). MSA receives a score of 1 if: there is a state-wide policy; at least one main city within the MSA has a policy; or at least one county within the MSA has a policy.  | score (worst 0, 1 best)    |
| <b>sdg1v5_familyleave</b>     | Family leave policy       | Paid family/parental leave policy for municipal employees, approved or enacted as of May 2018 (0= no, 1= yes). MSA receives a score of 1 if: there is a state-wide policy; at least one main city within the MSA has a policy; or at least one county within the MSA has a policy. | score (worst 0, 1 best)    |
| <b>sdg3v9_healthinsurance</b> | Health insurance coverage | Percentage of the population with health insurance   | %                          |
| <b>sdg4v2_preschool</b>       | Early education           | Percentage of population aged 3-4 enrolled in school   | %                          |
| <b>sdg8v1_GDPgrowth</b>       | Real GDP growth           | 5-year average of annual real GDP percentage growth rates  | %                          |
| <b>sdg8v3_unemployment</b>    | Unemployment rate         | Unemployment rate, ages 20-64  | %                          |

### 3.3 Στατιστική Ανάλυση

Στην παρούσα έρευνα χρησιμοποιήθηκε περιγραφική και επαγωγική στατιστική. Στην επαγωγική στατιστική χρησιμοποιήθηκαν οι στατιστικοί έλεγχοι Spearman's rho, MannWhitney & Multiple Linear Regression.

### 3.4 Αποτελέσματα

Πίνακας 3.2- Κατάταξη των δήμων κατά αύξουσα σειρά του δείκτη της ανεργίας

|                    |                                      | n_sdg3v9_healthinsurance | n_sdg4v2_preschool | n_sdg8v1_GDPgrowth | n_sdg8v3_unemployment | n_sdg10v2_gini | n_sdg10v8_MEIscore | sdg1v1_poverty | sdg1v2_childpoverty | sdg1v3_workingpoor | sdg1v4_sickleave | sdg1v5_famleave | POLITICAL PARTY OF | POLITICAL PARTY OF |
|--------------------|--------------------------------------|--------------------------|--------------------|--------------------|-----------------------|----------------|--------------------|----------------|---------------------|--------------------|------------------|-----------------|--------------------|--------------------|
| <b>Augusta</b>     | Augusta-Richmond County, GA-SC       | 45                       | 19                 | 19                 | 0                     | 51             | 14                 | 16             | 11                  | 4                  | 0                | 0               | 1                  | 0                  |
| <b>Bakersfield</b> | Bakersfield, CA                      | 61                       | 0                  | 20                 | 0                     | 52             | 46                 | 21             | 14                  | 4                  | 1                | 1               | 0                  | 1                  |
| <b>Fresno</b>      | Fresno, CA                           | 61                       | 11                 | 52                 | 0                     | 32             | 42                 | 21             | 12                  | 5                  | 1                | 1               | 0                  | 1                  |
| <b>Riverside</b>   | Riverside-San Bernardino-Ontario, CA | 61                       | 7                  | 62                 | 0                     | 63             | 55                 | 14             | 8                   | 3                  | 1                | 1               | 0                  | 0                  |
| <b>Modesto</b>     | Modesto, CA                          | 74                       | 13                 | 58                 | 2                     | 78             | 47                 | 14             | 8                   | 3                  | 1                | 1               | 0                  | 0                  |
| <b>NewHaven</b>    | NewHaven-Milford, CT                 | 77                       | 52                 | 13                 | 11                    | 52             | 78                 | 11             | 8                   | 1                  | 1                | 0               | 0                  | 0                  |
| <b>Tucson</b>      | Tucson, AZ                           | 58                       | 14                 | 0                  | 15                    | 35             | 10<br>0            | 17             | 9                   | 4                  | 1                | 0               | 1                  | 0                  |
| <b>Bridgeport</b>  | Bridgeport-Stamford-Norwalk, CT      | 54                       | 53                 | 0                  | 19                    | 0              | 26                 | 9              | 5                   | 1                  | 1                | 0               | 0                  | 0                  |
| <b>Jackson</b>     | Jackson, MS                          | 49                       | 28                 | 20                 | 19                    | 49             | 55                 | 15             | 10                  | 3                  | 0                | 0               | 1                  | 0                  |
| <b>Memphis</b>     | Memphis, TN-MS-AR                    | 51                       | 11                 | 6                  | 26                    | 16             | 31                 | 17             | 13                  | 3                  | 0                | 0               | 1                  | 0                  |
| <b>Toledo</b>      | Toledo, OH                           | 71                       | 23                 | 28                 | 26                    | 41             | 10<br>0            | 16             | 10                  | 3                  | 0                | 1               | 1                  | 0                  |



|                         |   |    |    |    |    |    |         |    |    |    |   |   |   |   |
|-------------------------|---|----|----|----|----|----|---------|----|----|----|---|---|---|---|
| <b>BatonRouge</b>       | BatonRouge, LA                              | 63 | 26 | 10 | 30 | 43 | 26      | 16 | 10 | 3  | 0 | 0 | 1 | 0 |
| <b>Detroit</b>          | Detroit-Warren-Dearborn, MI                 | 75 | 23 | 35 | 30 | 33 | 10<br>0 | 15 | 10 | 3  | 1 | 0 | 1 | 0 |
| <b>EIPaso</b>           | EIPaso, TX                                  | 0  | 13 | 10 | 30 | 36 | 37      | 21 | 12 | 6  | 0 | 0 | 1 | 1 |
| <b>McAllen</b>          | McAllen-Edinburg-Mission, TX                | 0  | 0  | 41 | 30 | 21 | 0       | 30 | 23 | 11 | 0 | 0 | 1 | 0 |
| <b>Youngstown</b>       | Youngstown-Warren-Boardman, OH-PA           | 71 | 35 | 0  | 30 | 54 |         | 16 | 10 | 3  | 0 | 0 | 1 | 0 |
| <b>Chicago</b>          | Chicago-Naperville-Elgin, IL-IN-WI          | 62 | 28 | 27 | 32 | 29 | 10<br>0 | 12 | 7  | 2  | 1 | 1 | 0 | 0 |
| <b>Stockton</b>         | Stockton-Lodi, CA                           | 66 | 10 | 48 | 32 | 51 | 62      | 16 | 8  | 4  | 1 | 1 | 0 | 0 |
| <b>Colorado Springs</b> | ColoradoSprings, CO                         | 65 | 7  | 23 | 35 | 85 | 41      | 11 | 6  | 2  | 0 | 0 | 0 | 1 |
| <b>Miami</b>            | Miami-Fort Lauderdale-West Palm Beach, FL   | 22 | 41 | 57 | 35 | 3  | 42      | 14 | 8  | 3  | 0 | 1 | 1 | 1 |
| <b>LasVegas</b>         | Las Vegas-Henderson-Paradise, NV            | 41 | 3  | 52 | 37 | 42 | 10<br>0 | 14 | 9  | 3  | 0 | 0 | 0 | 0 |
| <b>NewOrleans</b>       | NewOrleans-Metairie, LA                     | 55 | 37 | 12 | 37 | 11 | 96      | 19 | 14 | 4  | 0 | 0 | 1 | 0 |
| <b>Birmingham</b>       | Birmingham-Hoover, AL                       | 57 | 26 | 13 | 39 | 29 | 10<br>0 | 15 | 8  | 3  | 0 | 0 |   |   |
| <b>Dayton</b>           | Dayton, OH                                  | 72 | 19 | 14 | 39 | 57 | 10<br>0 | 14 | 8  | 3  | 0 | 0 | 1 | 0 |
| <b>Houston</b>          | Houston-The Woodlands-Sugar Land, TX        | 8  | 13 | 27 | 39 | 23 | 62      | 14 | 8  | 4  | 0 | 0 | 1 | 0 |
| <b>Sacramento</b>       | Sacramento--Roseville--Arden-Arcade, CA     | 75 | 21 | 48 | 39 | 51 | 10<br>0 | 13 | 6  | 3  | 1 | 1 | 0 | 0 |
| <b>Syracuse</b>         | Syracuse, NY                                | 80 | 12 | 7  | 39 | 57 | 79      | 14 | 10 | 2  | 0 | 1 | 0 | 0 |
| <b>Trenton</b>          | Trenton, NJ                                 | 58 | 55 | 0  | 39 | 0  |         | 12 |    |    | 1 | 1 | 0 | 0 |
| <b>Allentown</b>        | Allentown-Bethlehem-Easton, PA-NJ           | 72 | 26 | 63 | 41 | 60 | 10<br>0 | 11 | 9  | 2  | 0 | 0 | 1 | 0 |
| <b>Cleveland</b>        | Cleveland-Elyria, OH                        | 74 | 19 | 39 | 41 | 24 | 10<br>0 | 15 | 10 | 2  | 0 | 0 | 1 | 0 |
| <b>Philadelphia</b>     | Philadelphia-Camden-Wilmington, PA-NJ-DE-MD | 74 | 36 | 36 | 41 | 14 | 10<br>0 | 13 | 8  | 2  | 1 | 1 | 1 | 0 |
| <b>Greensboro</b>       | Greensboro-High Point, NC                   | 50 | 8  | 24 | 43 | 48 | 73      | 15 | 8  | 3  | 0 | 1 | 1 | 0 |

|                      |  |    |    |    |    |    |     |    |    |   |   |   |   |   |
|----------------------|--|----|----|----|----|----|-----|----|----|---|---|---|---|---|
| <b>Jacksonville</b>  | Jacksonville, FL                           | 45 | 15 | 61 | 43 | 43 | 73  | 13 | 10 | 3 | 0 | 0 | 1 | 1 |
| <b>SanDiego</b>      | SanDiego-Carlsbad, CA                      | 61 | 29 | 41 | 43 | 49 | 100 | 12 | 7  | 2 | 1 | 1 | 0 | 1 |
| <b>LosAngeles</b>    | Los Angeles-Long Beach-Anaheim, CA         | 57 | 31 | 54 | 45 | 18 | 100 | 14 | 7  | 3 | 1 | 1 | 0 | 0 |
| <b>Springfield</b>   | Springfield, MA                            | 87 | 26 | 20 | 45 | 34 | 49  | 16 | 12 | 1 | 1 | 1 | 0 | 0 |
| <b>Tulsa</b>         | Tulsa, OK                                  | 34 | 25 | 27 | 45 | 48 | 55  | 14 | 8  | 3 | 0 | 0 | 1 | 1 |
| <b>CapeCoral</b>     | Cape Coral-Fort Myers, FL                  | 33 | 19 | 63 | 48 | 32 | 22  | 12 | 8  | 3 | 0 | 0 | 1 | 1 |
| <b>Hartford</b>      | Hartford-West Hartford-East Hartford, CT   | 79 | 45 | 5  | 48 | 50 | 88  | 10 | 6  | 1 | 1 | 0 | 0 | 0 |
| <b>NewYork</b>       | New York-Newark-Jersey City, NY-NJ-PA      | 65 | 44 | 23 | 48 | 0  | 100 | 13 | 8  | 2 | 1 | 1 | 0 | 0 |
| <b>VirginiaBeach</b> | Virginia Beach-Norfolk-Newport News, VA-NC | 55 | 28 | 9  | 48 | 66 | 36  | 12 | 10 | 3 | 0 | 0 | 0 | 1 |
| <b>Scranton</b>      | Scranton--Wilkes-Barre--Hazleton, PA       | 77 | 17 | 22 | 50 | 58 | 72  | 14 | 12 | 2 | 0 | 0 | 1 | 0 |
| <b>Tampa</b>         | Tampa-St. Petersburg-Clearwater, FL        | 39 | 24 | 46 | 50 | 31 | 100 | 14 | 9  | 3 | 0 | 1 | 1 | 0 |
| <b>Albany</b>        | Albany-Schenectady-Troy, NY                | 84 | 40 | 28 | 52 | 62 | 100 | 10 | 6  | 1 | 0 | 1 | 0 | 0 |
| <b>Albuquerque</b>   | Albuquerque, NM                            | 63 | 11 | 15 | 52 | 49 | 67  | 16 | 8  | 3 | 0 | 0 | 0 | 0 |
| <b>Columbia</b>      | Columbia, SC                               | 50 | 26 | 41 | 52 | 37 | 63  | 15 | 9  | 4 | 0 | 0 | 1 | 0 |
| <b>Providence</b>    | Providence-Warwick, RI-MA                  | 80 | 20 | 23 | 52 | 41 | 100 | 11 | 7  | 1 | 1 | 1 | 0 | 0 |
| <b>Winston</b>       | Winston-Salem, NC                          | 47 | 12 | 33 | 52 | 25 | 38  | 16 | 12 | 4 | 0 | 0 |   |   |
| <b>Atlanta</b>       | Atlanta-Sandy Springs-Roswell, GA          | 35 | 31 | 66 | 54 | 40 | 100 | 12 | 7  | 3 | 0 | 1 | 1 | 0 |
| <b>Baltimore</b>     | Baltimore-Columbia-Towson, MD              | 75 | 24 | 26 | 54 | 56 | 86  | 10 | 7  | 2 | 1 | 0 | 0 | 0 |
| <b>Lakeland</b>      | Lakeland-WinterHaven, FL                   | 38 | 5  | 35 | 54 | 59 |     | 16 | 12 | 3 | 0 | 0 | 1 | 1 |
| <b>Oxnard</b>        | Oxnard-Thousand Oaks-Ventura, CA           | 58 | 28 | 12 | 54 | 58 | 46  | 9  | 5  | 2 | 1 | 1 | 0 | 0 |
| <b>Akron</b>         | Akron, OH                                  | 75 | 31 | 46 | 56 | 43 | 100 | 13 | 9  | 2 | 0 | 1 | 1 | 0 |
| <b>North Port</b>    | North Port-Sarasota-Bradenton, FL          | 44 | 27 | 65 | 56 | 29 |     | 10 | 5  | 2 | 0 | 0 |   |   |

|                     |  |    |    |     |    |    |    |    |    |   |   |   |   |   |
|---------------------|--|----|----|-----|----|----|----|----|----|---|---|---|---|---|
| <b>Rochester</b>    | Rochester, NY                                | 82 | 12 | 0   | 56 | 50 | 10 | 14 | 12 | 2 | 0 | 1 | 0 | 0 |
| <b>Wichita</b>      | Wichita, KS                                  | 52 | 11 | 20  | 56 | 70 | 0  | 13 | 8  | 3 | 0 | 0 | 1 | 1 |
| <b>Louisville</b>   | Louisville/Jefferson County, KY-IN           | 73 | 6  | 41  | 58 | 53 | 10 | 12 | 7  | 2 | 0 | 0 | 1 | 0 |
| <b>Richmond</b>     | Richmond, VA                                 | 57 | 14 | 36  | 58 | 58 | 92 | 11 | 8  | 2 | 0 | 0 | 0 | 0 |
| <b>SanAntonio</b>   | San Antonio-New Braunfels, TX                | 27 | 14 | 100 | 58 | 47 | 10 | 15 | 10 | 3 | 1 | 1 | 1 | 0 |
| <b>St. Louis</b>    | St. Louis, MO-IL                             | 68 | 34 | 16  | 58 | 48 | 10 | 12 | 7  | 2 | 0 | 0 | 1 | 0 |
| <b>Phoenix</b>      | Phoenix-Mesa-Scottsdale, AZ                  | 49 | 7  | 44  | 61 | 50 | 10 | 13 | 8  | 3 | 1 | 0 | 1 | 0 |
| <b>Spokane</b>      | Spokane-SpokaneValley, WA                    | 72 | 8  | 32  | 61 | 50 | 58 | 14 | 8  | 3 | 1 | 1 | 0 | 1 |
| <b>Charlotte</b>    | Charlotte-Concord-Gastonia, NC-SC            | 49 | 15 | 57  | 63 | 33 | 54 | 12 | 6  | 3 | 0 | 1 | 1 | 0 |
| <b>Orlando</b>      | Orlando-Kissimmee-Sanford, FL                | 37 | 21 | 54  | 63 | 35 | 10 | 14 | 8  | 3 | 0 | 0 | 1 | 0 |
| <b>Pittsburgh</b>   | Pittsburgh, PA                               | 82 | 30 | 46  | 63 | 38 | 10 | 11 | 7  | 2 | 1 | 1 | 1 | 0 |
| <b>Indianapolis</b> | Indianapolis-Carmel-Anderson, IN             | 60 | 16 | 42  | 65 | 47 | 86 | 12 | 8  | 2 | 0 | 0 | 1 | 0 |
| <b>Washington</b>   | Washington-Arlington-Alexandria, DC-VA-MD-WV | 62 | 29 | 23  | 65 | 69 |    | 8  | 5  | 1 | 1 | 1 | 0 | 0 |
| <b>Worcester</b>    | Worcester, MA-CT                             | 85 | 37 | 33  | 65 | 49 | 10 | 11 | 7  | 1 | 1 | 1 | 0 | 0 |
| <b>Buffalo</b>      | Buffalo-Cheektowaga-Niagara Falls, NY        | 82 | 28 | 18  | 67 | 45 | 83 | 14 | 11 | 2 | 0 | 1 | 0 | 0 |
| <b>Deltona</b>      | Deltona-Daytona Beach-Ormond Beach, FL       | 45 | 22 | 35  | 67 | 60 | 10 | 15 | 13 | 3 | 0 | 0 |   |   |
| <b>LittleRock</b>   | Little Rock-North Little Rock-Conway, AR     | 65 | 21 | 9   | 67 | 42 | 53 | 13 | 7  | 3 | 0 | 0 | 1 | 0 |
| <b>SanFrancisco</b> | San Francisco-Oakland-Hayward, CA            | 77 | 40 | 83  | 67 | 29 | 10 | 9  | 4  | 1 | 1 | 1 | 0 | 0 |
| <b>Durham</b>       | Durham-ChapelHill, NC                        | 46 | 21 | 18  | 69 | 21 | 58 | 15 | 10 | 2 | 0 | 1 |   |   |
| <b>Greenville</b>   | Greenville-Anderson-Mauldin, SC              | 46 | 14 | 49  | 69 | 39 | 0  | 14 | 9  | 3 | 0 | 0 | 1 | 1 |
| <b>Seattle</b>      | Seattle-Tacoma-Bellevue, WA                  | 72 | 19 | 71  | 69 | 60 | 10 | 9  | 5  | 1 | 1 | 1 | 0 | 0 |

|                      |   |    |    |     |    |     |         |    |   |   |   |   |   |   |
|----------------------|---|----|----|-----|----|-----|---------|----|---|---|---|---|---|---|
| <b>Boston</b>        | Boston-Cambridge-Newton, MA-NH          | 85 | 37 | 41  | 71 | 30  | 10<br>0 | 10 | 6 | 1 | 1 | 1 | 0 | 0 |
| <b>Dallas</b>        | Dallas-Fort Worth-Arlington, TX         | 17 | 17 | 73  | 71 | 50  | 10<br>0 | 11 | 6 | 3 | 0 | 0 | 1 | 0 |
| <b>Portland</b>      | Portland-Vancouver-Hillsboro, OR-WA     | 69 | 26 | 36  | 71 | 69  | 82      | 11 | 5 | 2 | 1 | 1 | 0 | 0 |
| <b>SanJose</b>       | San Jose-Sunnyvale-Santa Clara, CA      | 79 | 36 | 100 | 71 | 52  | 10<br>0 | 7  | 4 | 1 | 1 | 1 | 0 | 0 |
| <b>Chattanooga</b>   | Chattanooga, TN-GA                      | 51 | 12 | 27  | 74 | 22  | 29      | 13 | 7 | 2 | 0 | 0 | 1 | 0 |
| <b>Knoxville</b>     | Knoxville, TN                           | 58 | 1  | 34  | 74 | 29  | 49      | 14 | 9 | 3 | 0 | 0 | 1 | 0 |
| <b>Milwaukee</b>     | Milwaukee-Waukesha-West Allis, WI       | 72 | 25 | 11  | 74 | 36  | 10<br>0 | 13 | 7 | 2 | 0 | 0 | 1 | 0 |
| <b>PalmBay</b>       | Palm Bay-Melbourne-Titusville, FL       | 50 | 22 | 46  | 74 | 50  |         | 12 | 7 | 3 | 0 | 0 | 1 | 0 |
| <b>Cincinnati</b>    | Cincinnati, OH-KY-IN                    | 75 | 19 | 33  | 76 | 48  | 10<br>0 | 12 | 8 | 2 | 0 | 1 | 1 | 0 |
| <b>UrbanHonolulu</b> | UrbanHonolulu, HI                       | 83 | 20 | 37  | 76 | 73  | 33      | 8  | 5 | 1 | 0 | 0 | 0 | 0 |
| <b>Columbus</b>      | Columbus, OH                            | 67 | 10 | 44  | 78 | 59  | 10<br>0 | 13 | 8 | 2 | 0 | 1 | 1 | 0 |
| <b>BoiseCity</b>     | BoiseCity, ID                           | 47 | 8  | 60  | 80 | 38  | 65      | 13 | 6 | 4 | 0 | 0 | 1 | 0 |
| <b>KansasCity</b>    | KansasCity, MO-KS                       | 54 | 26 | 29  | 80 | 54  | 96      | 10 | 6 | 2 | 0 | 1 | 1 | 0 |
| <b>OklahomaCity</b>  | OklahomaCity, OK                        | 37 | 9  | 51  | 80 | 43  | 23      | 14 | 8 | 3 | 0 | 0 | 1 | 1 |
| <b>Charleston</b>    | Charleston-North Charleston, SC         | 43 | 26 | 65  | 82 | 36  | 64      | 12 | 8 | 3 | 0 | 0 | 1 | 0 |
| <b>Manchester</b>    | Manchester-Nashua, NH                   | 70 | 17 | 50  | 82 | 85  |         | 8  |   |   | 0 | 0 | 0 | 0 |
| <b>Austin</b>        | Austin-RoundRock, TX                    | 41 | 26 | 100 | 87 | 55  | 10<br>0 | 10 | 6 | 2 | 1 | 1 | 1 | 0 |
| <b>GrandRapids</b>   | GrandRapids-Wyoming, MI                 | 75 | 23 | 62  | 87 | 78  | 69      | 10 | 6 | 2 | 1 | 0 | 1 | 0 |
| <b>Provo</b>         | Provo-Orem, UT                          | 62 | 10 | 100 | 87 | 100 | 33      | 11 | 3 | 2 | 0 | 0 | 1 | 1 |
| <b>Raleigh</b>       | Raleigh, NC                             | 50 | 20 | 70  | 87 | 81  | 38      | 11 | 7 | 3 | 0 | 1 | 1 | 0 |
| <b>SaltLakeCity</b>  | SaltLakeCity, UT                        | 51 | 23 | 45  | 87 | 86  | 56      | 9  | 5 | 2 | 0 | 1 | 1 | 0 |
| <b>Harrisburg</b>    | Harrisburg-Carlisle, PA                 | 71 | 8  | 28  | 89 | 83  | 76      | 10 | 7 | 2 | 0 | 0 | 1 | 0 |
| <b>Minneapolis</b>   | Minneapolis-St. Paul-Bloomington, MN-WI | 79 | 24 | 41  | 89 | 65  | 10<br>0 | 8  | 4 | 1 | 1 | 1 | 0 | 0 |

|                       |  |    |    |    |     |     |         |    |   |   |   |   |   |   |
|-----------------------|--|----|----|----|-----|-----|---------|----|---|---|---|---|---|---|
| <b>Nashville</b>      | Nashville-Davidson--<br>Murfreesboro--<br>Franklin, TN | 52 | 16 | 81 | 91  | 49  | 53      | 11 | 6 | 2 | 0 | 1 | 1 | 0 |
| <b>Denver</b>         | Denver-Aurora-<br>Lakewood, CO                         | 64 | 27 | 60 | 93  | 64  | 10<br>0 | 9  | 5 | 2 | 0 | 0 | 0 | 0 |
| <b>Lancaster</b>      | Lancaster, PA  | 35 | 0  | 48 | 95  | 100 |         | 10 | 5 | 2 | 0 | 0 | 1 | 0 |
| <b>Omaha</b>          | Omaha-Council Bluffs,<br>NE-IA                         | 60 | 19 | 45 | 95  | 71  | 54      | 10 | 5 | 2 | 0 | 0 | 1 | 1 |
| <b>Des<br/>Moines</b> | Des Moines-West Des<br>Moines, IA                      | 78 | 14 | 79 | 97  | 70  | 91      | 8  | 4 | 2 | 0 | 0 | 1 | 0 |
| <b>Madison</b>        | Madison, WI  | 79 | 18 | 59 | 100 | 78  | 10<br>0 | 11 | 4 | 1 | 0 | 1 | 1 | 0 |
| <b>Ogden</b>          | Ogden-Clearfield, UT                                   | 65 | 5  | 53 | 100 | 100 | 44      | 7  | 3 | 2 | 0 | 0 | 1 | 1 |

Στον πίνακα 2 παρατηρείται ότι μηδενική ανεργία έχουν οι δήμοι Augusta, Bakersfield, Fresno και Riverside ενώ τον υψηλότερο δείκτη ανεργίας των έχουν οι δήμοι Madison και Ogden.

Πίνακας 3.3-Συσχετίσεις

|  | n_s<br>dg3<br>v9_<br>heal<br>thin<br>sura<br>nce | n_s<br>dg4<br>v2_<br>pres<br>cho<br>ol | n_sd<br>g8v1<br>_<br>GDP<br>grow<br>th | n_sdg<br>8v3_<br>unem<br>ploym<br>ent | n_sdg<br>10v2_<br>gini | n_s<br>dg1<br>0v8<br>_<br>MEI<br>sco<br>re | sd<br>g1<br>v1<br>_<br>p<br>ov<br>er<br>ty | sd<br>g1<br>v2<br>_<br>c<br>hil<br>d<br>p<br>ov<br>er<br>ty | sd<br>g1<br>v3<br>_<br>w<br>or<br>ki<br>n<br>g<br>p<br>o<br>or |
|--|--|--|--|---------------------------------------|------------------------|--|--|---|--|
| n_sdg<br>3v9_h<br>ealthi<br>nsura<br>nce | 1  | ,258*<br>*                             | -<br>0,190                             | 0,069                                 | ,268**                 | ,38<br>9**                                 | -<br>,3<br>03<br>**                        | -<br>,2<br>16<br>*  | -<br>,6<br>33<br>**  |
| n_sdg<br>4v2_p<br>resch<br>ool           | ,258*<br>*                                       | 1                                      | -<br>0,146                             | -0,088                                | -,246*                 | ,34<br>0**                                 | -<br>,2<br>86<br>**                        | -<br>,1<br>97<br>*  | -<br>,3<br>96<br>**  |
| n_sdg<br>8v1_<br>GDPg<br>rowth           | -<br>0,19<br>0                                   | -<br>0,14<br>6805                      | 1                                      | ,443**                                | 0,176<br>966           | 0,1<br>48                                  | -<br>,3<br>45<br>**                        | -<br>,3<br>91<br>**   | -<br>0,<br>02<br>0   |
| n_sdg<br>8v3_u<br>nempl<br>oyme<br>nt    | 0,06<br>9  | -<br>0,08<br>8                         | ,443**                                 | 1                                     | ,394**                 | 0,0<br>94                                  | -<br>,6<br>21<br>**                        | -<br>,5<br>92<br>**   | -<br>,4<br>21<br>**  |
| n_sdg<br>10v2_<br>gini                   | ,268*<br>*                                       | -<br>,246*                             | 0,176                                  | ,394**                                | 1                      | -<br>0,0<br>59                             | -<br>,4<br>68<br>**                        | -<br>,3<br>82<br>**   | -<br>,2<br>93<br>**  |
| n_sdg<br>10v8_<br>MEIsc<br>ore           | ,389*<br>*                                       | ,340*<br>*                             | 0,148                                  | 0,094                                 | -0,059                 | 1  | -<br>,2<br>20<br>*                         | -<br>,2<br>05<br>*  | -<br>,3<br>49<br>**  |
| sdg1v<br>1_pov<br>erty                   | -<br>,303*<br>*                                  | -<br>,286*<br>*                        | -<br>,345**                            | -,621**                               | -,468**                | -<br>,22<br>0*                             | 1  | ,8<br>72<br>**  | ,7<br>41<br>**   |
| sdg1v<br>2_chil                          | -<br>,216*<br>*                                  | -<br>,197*<br>*                        | -<br>,391**                            | -,592**                               | -,382**                | -<br>,20<br>5*                             | ,8<br>72<br>**                             | 1   | ,5<br>79<br>**   |

| dpove |       |       |       |         |         |     |    |    |   |
|-------|-------|-------|-------|---------|---------|-----|----|----|---|
| rtv   |       |       |       |         |         |     |    |    |   |
| sdg1v | -     | -     | -     | -,421** | -,293** | -   | ,7 | ,5 | 1 |
| 3_wor | ,633* | ,396* | 0,020 |         |         | ,34 | 41 | 79 |   |
| kingp | *     | *     |       |         |         | 9** | ** | ** |   |
| oor   |       |       |       |         |         |     |    |    |   |

Στον πίνακα 3.3 (δείκτης Spearman's rho) παρατηρείται ο δείκτης ανεργίας να συσχετίζεται θετικά με τον δείκτη Gini ( $r = 0.394$ ,  $p < .01$ ) και αρνητικά με την φτώχεια ( $r = -0.621$ ,  $p < .01$ ), την παιδική φτώχεια ( $r = -0.592$ ,  $p < .01$ ) και τους εργαζόμενους κάτω από το όριο της φτώχειας ( $r = -0.421$ ,  $p < .01$ ). Οι τρεις τελευταίες σχέσεις χρήζουν περαιτέρω διερεύνησης.

Πίνακας 3.4-Διαφορές μεταξύ δήμων που ανήκουν στους ρεπουμπλικάνους και δήμων που ανήκουν στους δημοκρατικούς

|                          | POLITICAL PARTY OF STATE (Rep = 1, Dem = 0) |        |                    |       |        |                    | U        | p    |
|--------------------------|---|--------|--------------------|-------|--------|--------------------|----------|------|
|                          | ,00   |        |                    | 1,00  |        |                    |          |      |
|                          | Mean  | Median | Standard Deviation | Mean  | Median | Standard Deviation |          |      |
| n_sdg3v9_healthinsurance | 69,67                                       | 70,00  | 10,95              | 53,02 | 52,00  | 19,37              | 541,500  | ,000 |
| n_sdg4v2_preschool       | 24,92                                       | 26,00  | 14,12              | 18,52 | 19,00  | 9,41               | 868,000  | ,023 |
| n_sdg8v1_GDPgrowth       | 34,03                                       | 32,00  | 23,09              | 42,11 | 42,00  | 23,84              | 944,500  | ,083 |
| n_sdg8v3_unemployment    | 48,38                                       | 52,00  | 23,92              | 59,51 | 58,00  | 23,93              | 913,500  | ,051 |
| n_sdg10v2_gini           | 49,31                                       | 51,00  | 20,74              | 48,00 | 47,00  | 21,16              | 1017,000 | ,223 |
| n_sdg10v8_MEIscore       | 77,67                                       | 87,00  | 25,33              | 69,37 | 73,00  | 31,81              | 898,000  | ,296 |
| sdg1v1_poverty           | 11,95                                       | 11,00  | 3,24               | 13,33 | 13,00  | 3,32               | 859,500  | ,019 |
| sdg1v2_childpoverty      | 7,38  | 7,00   | 2,50               | 8,21  | 8,00   | 2,96               | 892,000  | ,080 |
| sdg1v3_workingpoor       | 2,03  | 2,00   | 1,04               | 2,85  | 3,00   | 1,33               | 646,000  | ,000 |

Στον πίνακα 3.4 παρατηρείται στους δήμους που ανήκουν στο δημοκρατικό κόμμα έναντι των δήμων που ανήκουν στο ρεπουμπλικανό κόμμα να εμφανίζουν υψηλότερο ποσοστό ασφαλισμένων ατόμων, παιδιών ηλικίας 3 – 4 ετών που είναι εγγεγραμμένα στο σχολείο ενώ παράλληλα εμφανίζουν χαμηλότερο ποσοστό φτώχειας και εργαζομένων που δουλεύουν με πλήρες ωράριο αλλά ζουν κάτω από το όριο της φτώχειας ( $p < 0.05$ ).



Πίνακας 3.5-Διαφορές μεταξύ δημάρχων που ανήκουν στους ρεπουμπλικάνους και δήμων που ανήκουν στους δημοκρατικούς

|                          | POLITICAL PARTY OF MAYOR (Rep = 1, Dem = 0) |        |                    |       |        |                    | U       | p    |
|--------------------------|---|--------|--------------------|-------|--------|--------------------|---------|------|
|                          | ,00   |        |                    | 1,00  |        |                    |         |      |
|                          | Mean  | Median | Standard Deviation | Mean  | Median | Standard Deviation |         |      |
| n_sdg3v9_healthinsurance | 61,98                                       | 65,00  | 17,63              | 48,28 | 53,50  | 18,31              | 405,500 | ,003 |
| n_sdg4v2_preschool       | 22,35                                       | 21,50  | 11,78              | 14,94 | 12,00  | 10,32              | 449,000 | ,009 |
| n_sdg8v1_GDPgrowth       | 38,39                                       | 36,50  | 24,14              | 41,56 | 43,00  | 22,45              | 674,500 | ,569 |
| n_sdg8v3_unemployment    | 55,95                                       | 57,00  | 23,71              | 51,61 | 48,00  | 27,93              | 659,500 | ,481 |
| n_sdg10v2_gini           | 47,23                                       | 49,00  | 19,92              | 54,33 | 49,50  | 24,67              | 631,500 | ,339 |
| n_sdg10v8_MEIscore       | 79,53                                       | 96,00  | 26,14              | 41,53 | 42,00  | 24,16              | 198,500 | ,000 |
| sdg1v1_poverty           | 12,55                                       | 12,00  | 3,21               | 13,89 | 13,50  | 3,82               | 591,000 | ,184 |
| sdg1v2_childpoverty      | 7,79  | 7,50   | 2,77               | 8,39  | 8,00   | 3,01               | 586,000 | ,214 |
| sdg1v3_workingpoor       | 2,43  | 2,00   | 1,31               | 3,06  | 3,00   | 1,06               | 464,000 | ,013 |

Στον πίνακα 3.5 παρατηρείται στους δημάρχους που ανήκουν στο δημοκρατικό κόμμα έναντι των δημάρχων που ανήκουν στο ρεπουμπλικάνο κόμμα να εμφανίζουν υψηλότερο ποσοστό ασφαλισμένων ατόμων, παιδιών ηλικίας 3 – 4 ετών που είναι εγγεγραμμένα στο σχολείο και καλύτερο δείκτης ισότητας ενώ παράλληλα εμφανίζουν χαμηλότερο ποσοστό φτώχειας εργαζομένων που δουλεύουν με πλήρες ωράριο ( $p < 0.05$ ).

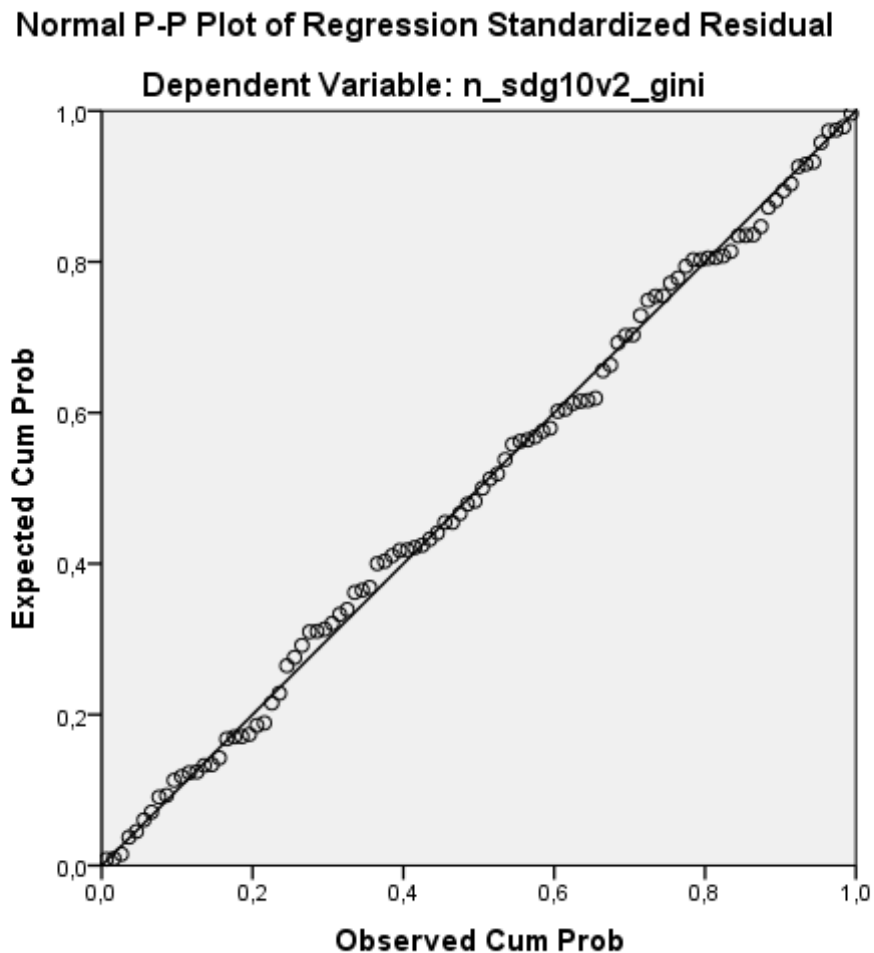
Πίνακας 3.6-Γραμμικό μοντέλο πρόβλεψης του δείκτη Gini

| Model                                       | Unstandardized Coefficients |            | Standardized Coefficients | Collinearity Statistics |              |           |       |
|---|-----------------------------|------------|---------------------------|-------------------------|--------------|-----------|-------|
|   | B                           | Std. Error | Beta                      | t                       | Significance | Tolerance | VIF   |
| 1 (Constant)                                | 27,731                      | 5,128      |                           | 5,408                   | ,000         |           |       |
| n_sdg8v1_GDP growth                         | ,063                        | ,088       | ,072                      | ,712                    | ,478         | ,806      | 1,240 |
| n_sdg8v3_unemployment                       | ,373                        | ,087       | ,436                      | 4,283                   | ,000         | ,784      | 1,275 |
| POLITICAL PARTY OF STATE (Rep = 1, Dem = 0) | -6,352                      | 3,965      | -,149                     | -1,602                  | ,112         | ,940      | 1,064 |
| POLITICAL PARTY OF MAYOR (Rep = 1, Dem = 0) | 8,961                       | 4,922      | ,166                      | 1,821                   | ,072         | ,983      | 1,017 |
| 2 (Constant)                                | 28,591                      | 4,971      |                           | 5,752                   | ,000         |           |       |
| n_sdg8v3_unemployment                       | ,399                        | ,079       | ,466                      | 5,033                   | ,000         | ,944      | 1,060 |
| POLITICAL PARTY OF STATE (Rep = 1, Dem = 0) | -6,140                      | 3,944      | -,144                     | -1,557                  | ,123         | ,945      | 1,058 |
| POLITICAL PARTY OF MAYOR (Rep = 1, Dem = 0) | 9,256                       | 4,892      | ,171                      | 1,892                   | ,061         | ,990      | 1,010 |
| 3 (Constant)                                | 26,495                      | 4,820      |                           | 5,497                   | ,000         |           |       |
| n_sdg8v3_unemployment                       | ,371                        | ,078       | ,433                      | 4,770                   | ,000         | ,995      | 1,005 |
| POLITICAL PARTY OF MAYOR (Rep = 1, Dem = 0) | 8,710                       | 4,915      | ,161                      | 1,772                   | ,080         | ,995      | 1,005 |

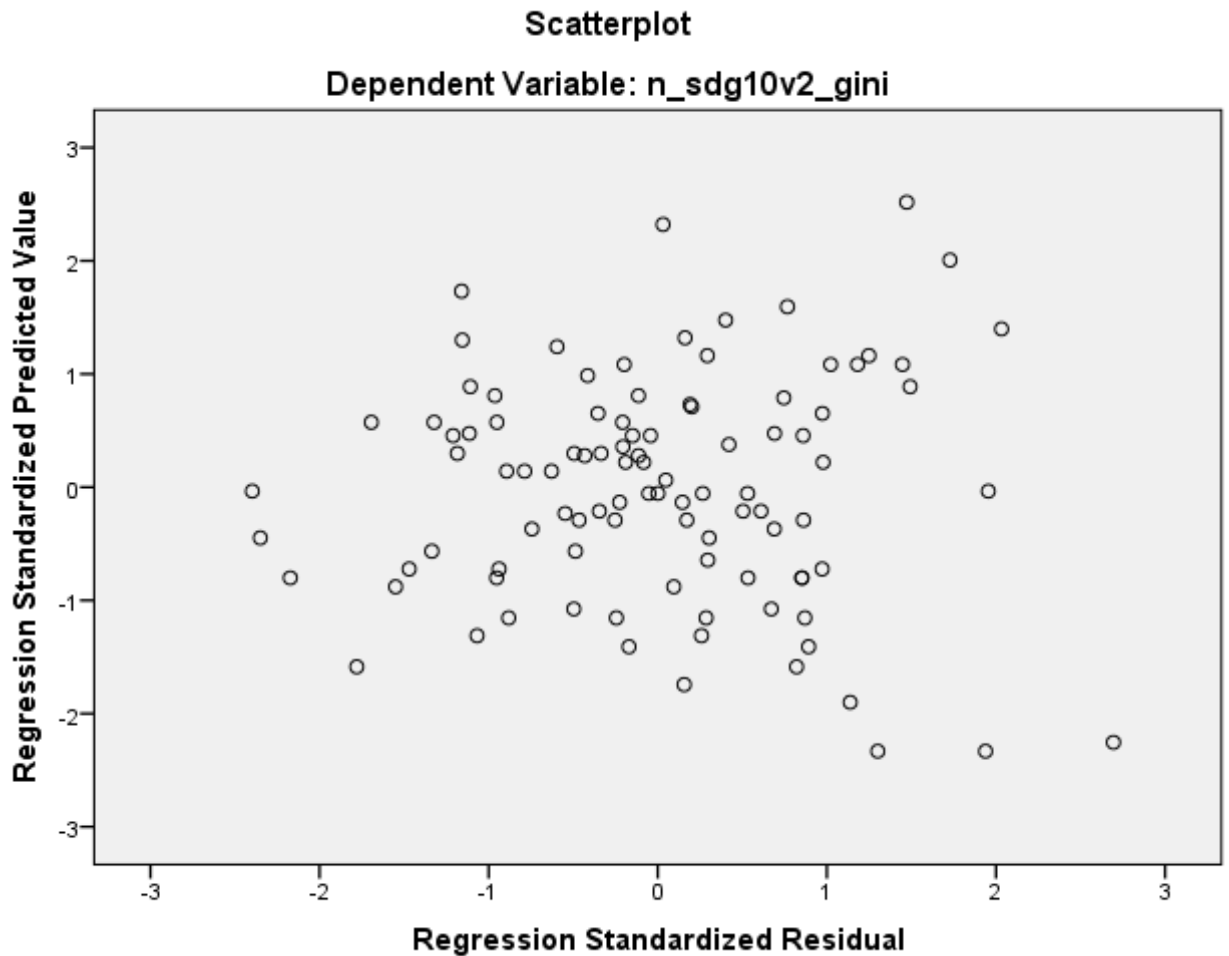
a. Dependent Variable: n\_sdg10v2\_gini

Στον πίνακα 3.6 παρατηρείται το γραμμικό μοντέλο πρόβλεψης του δείκτη Gini σε σχέση με την αύξηση του ΑΕΠ, την ανεργία το κόμμα στο οποίο ανήκει η πολιτεία και το κόμμα στο οποίο ανήκει ο δήμαρχος της πολιτείας. Για την εύρεση του βέλτιστου μοντέλου χρησιμοποιήθηκε η μέθοδος backward. Το μοντέλο είναι

στατιστικά σημαντικό,  $F(2, 97) = 12,424$ ,  $p = .000$ ,  $Rsquare = 20.4\%$ . Το μοντέλο δεν είχε πρόβλημα αυτοσυσχέτισης (DurbinWatson = 1.786, αποδεκτές τιμές 1 – 3) και πολυγραμμικότητας ( $VIF < 10$ ). Επίσης, δεν υπήρχε πρόβλημα με την κανονικότητα των δεδομένων (Γράφημα 1) και την ετεροσκεδαστικότητα (Γράφημα 2). Στατιστικά σημαντικές μεταβλητές ήταν η ανεργία ( $b = 0.371$ ,  $p = .000$ ) & το κόμμα στο οποίο ανήκει ο δήμαρχος ( $b = 8,71$ ,  $p = .080$  σε επίπεδο σημαντικότητας 10%).



Γράφημα 3.1-Έλεγχος κανονικότητας



Γράφημα 3.2- Έλεγχος ετεροσκεδαστικότητας

Πίνακας 3.7- Γραμμικό μοντέλο πρόβλεψης του δείκτη για την ισότητα στους δήμους

| Model                                       | Unstandardized Coefficients |            | Standardized Coefficients | Collinearity Statistics |      |           |       |
|---|-----------------------------|------------|---------------------------|-------------------------|------|-----------|-------|
|   | B                           | Std. Error | Beta                      | t                       | Sig. | Tolerance | VIF   |
| 1 (Constant)                                | 71,438                      | 7,130      |                           | 10,020                  | ,000 |           |       |
| n_sdg8v1_GDP growth                         | ,157                        | ,122       | ,127                      | 1,289                   | ,201 | ,819      | 1,221 |
| n_sdg8v3_unemployment                       | ,148                        | ,121       | ,123                      | 1,226                   | ,223 | ,790      | 1,265 |
| POLITICAL PARTY OF STATE (Rep = 1, Dem = 0) | -10,342                     | 5,555      | -,171                     | -1,862                  | ,066 | ,936      | 1,069 |

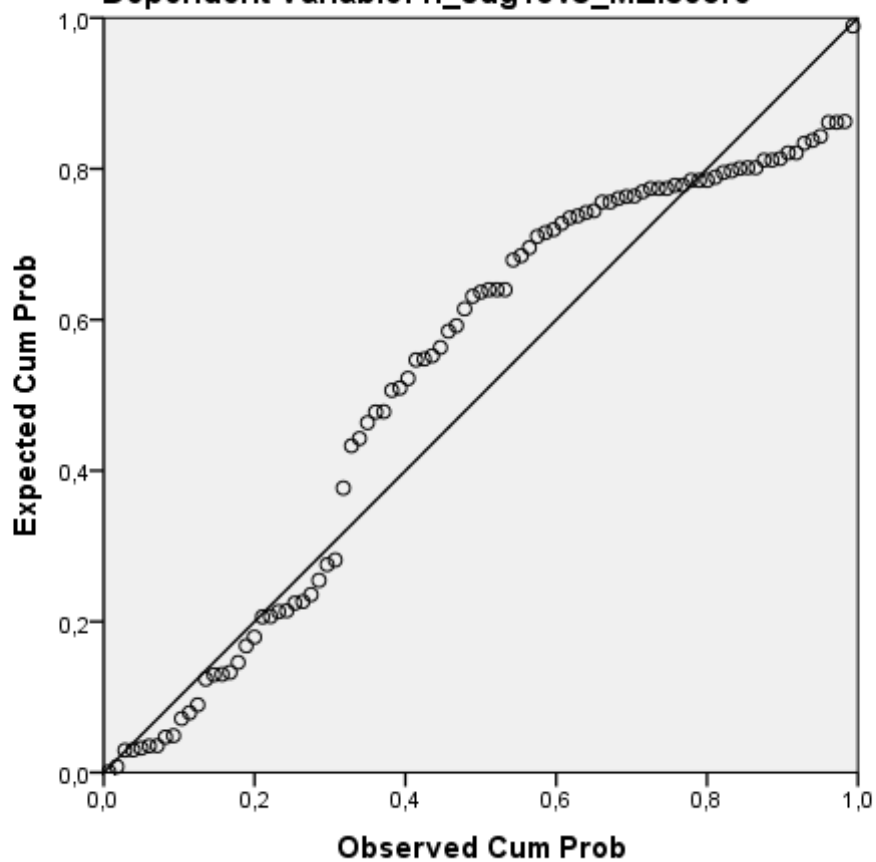
|   |         |       |       |     |    |      |      |
|---|---------|-------|-------|-----|----|------|------|
| POLITICAL PARTY OF MAYOR (Rep = 1, Dem = 0) | -37,425 | 6,811 | -491  | -   | ,0 | ,989 | 1,01 |
|   |         |       |       | 5,4 | 00 |      | 2    |
|   |         |       |       | 95  |    |      |      |
| 2 (Constant)                                | 76,492  | 5,834 |       | 13, | ,0 |      |      |
|   |         |       |       | 112 | 00 |      |      |
| n_sdg8v1_GDP growth                         | ,217    | ,112  | ,174  | 1,9 | ,0 | ,972 | 1,02 |
|   |         |       |       | 28  | 57 |      | 9    |
| POLITICAL PARTY OF STATE (Rep = 1, Dem = 0) | -9,019  | 5,464 | -,149 | -   | ,1 | ,972 | 1,02 |
|   |         |       |       | 1,6 | 02 |      | 8    |
|   |         |       |       | 51  |    |      |      |
| POLITICAL PARTY OF MAYOR (Rep = 1, Dem = 0) | -38,208 | 6,800 | -,502 | -   | ,0 | ,997 | 1,00 |
|   |         |       |       | 5,6 | 00 |      | 3    |
|   |         |       |       | 19  |    |      |      |
| 3 (Constant)                                | 72,215  | 5,277 |       | 13, | ,0 |      |      |
|   |         |       |       | 686 | 00 |      |      |
| n_sdg8v1_GDP growth                         | ,186    | ,112  | ,150  | 1,6 | ,0 | ,998 | 1,00 |
|   |         |       |       | 66  | 99 |      | 2    |
| POLITICAL PARTY OF MAYOR (Rep = 1, Dem = 0) | -38,503 | 6,863 | -,505 | -   | ,0 | ,998 | 1,00 |
|   |         |       |       | 5,6 | 00 |      | 2    |
|   |         |       |       | 11  |    |      |      |

a. Dependent Variable: n\_sdg10v8\_MEIscore

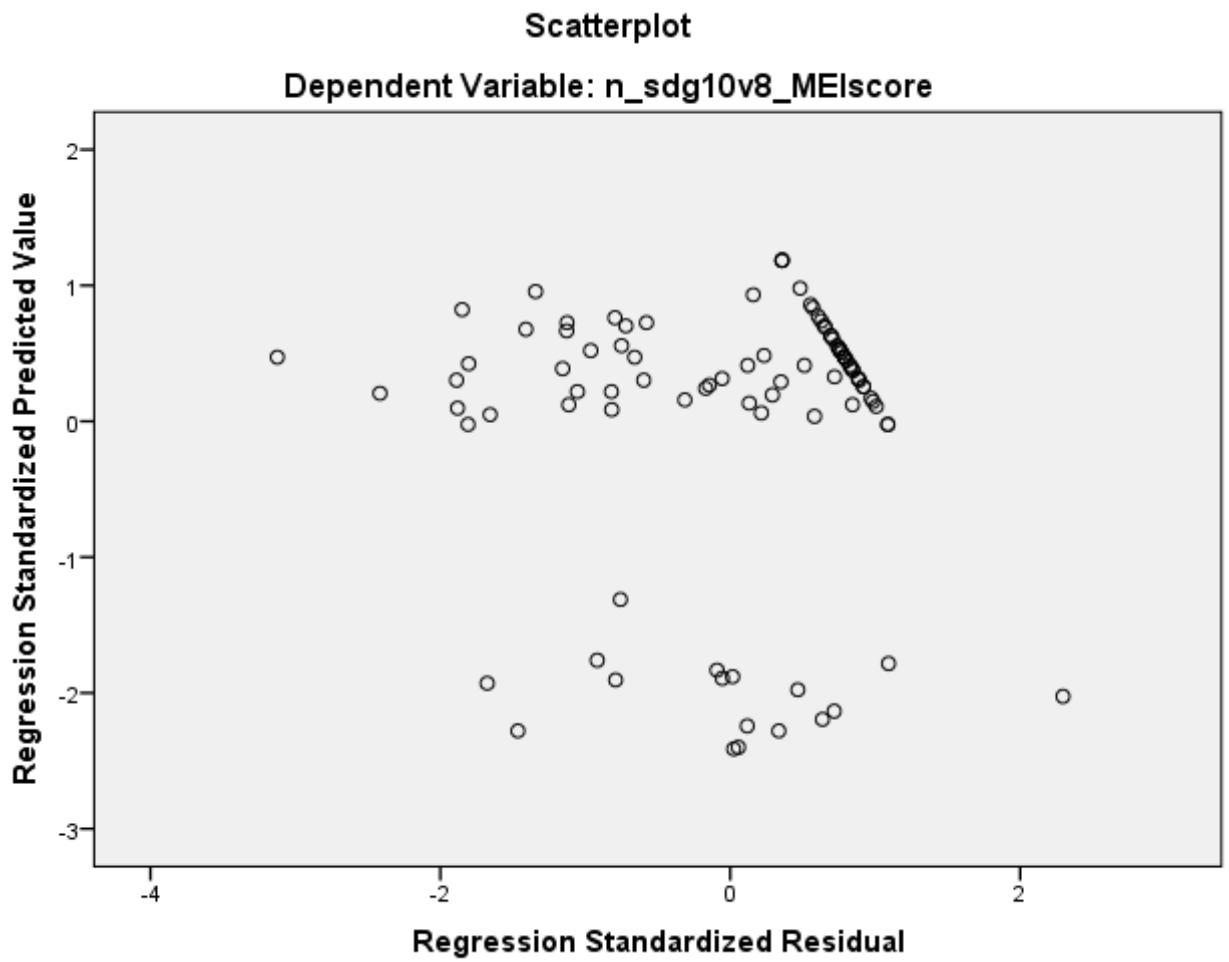
Στον πίνακα 3.7 παρατηρείται το γραμμικό μοντέλο πρόβλεψης του δείκτη ισότητας των δήμων σε σχέση με την αύξηση του ΑΕΠ, την ανεργία το κόμμα στο οποίο ανήκει η πολιτεία και το κόμμα στο οποίο ανήκει ο δήμαρχος της πολιτείας. Για την εύρεση του βέλτιστου μοντέλου χρησιμοποιήθηκε η μέθοδος backward. Το μοντέλο είναι στατιστικά σημαντικό,  $F(2, 90) = 16,746$ ,  $p = .000$ ,  $Rsquare = 27.1\%$ . Το μοντέλο δεν είχε πρόβλημα αυτό-συσχέτισης (DurbinWatson = 2.074, αποδεκτές τιμές 1 – 3) και πολυγραμμικότητας ( $VIF < 10$ ). Επίσης, υπήρχε πρόβλημα με την κανονικότητα των δεδομένων (Γράφημα 3) αλλά όχι με την ετεροσκεδαστικότητα (Γράφημα 4). Στατιστικά σημαντικές μεταβλητές ήταν η αύξηση του ΑΕΠ ( $b = 0.186$ ,  $p = .099$  σε επίπεδο σημαντικότητας 10%) & το κόμμα στο οποίο ανήκει ο δήμαρχος ( $b = -38,503$ ,  $p = .000$ ).

### Normal P-P Plot of Regression Standardized Residual

Dependent Variable: n\_sdg10v8\_MEIscore



Γράφημα 3.3- Έλεγχος κανονικότητας



Γράφημα 3.4- Έλεγχος ετεροσκεδαστικότητας

Πίνακας 3.8- Γραμμικό μοντέλο πρόβλεψης του δείκτη για το ποσοστό του πληθυσμού με ασφάλεια υγείας

| Model                                       | Unstandardized Coefficients |            | Standardized Coefficients | Collinearity Statistics |              |           |       |
|---|-----------------------------|------------|---------------------------|-------------------------|--------------|-----------|-------|
|   | B                           | Std. Error | Beta                      | t                       | Significance | Tolerance | VIF   |
| 1 (Constant)                                | 66,839                      | 4,221      |                           | 15,834                  | ,000         |           |       |
| n_sdg8v1_GDP growth                         | -,151                       | ,073       | -,194                     | -2,072                  | ,041         | ,806      | 1,240 |
| n_sdg8v3_unemployment                       | ,200                        | ,072       | ,265                      | 2,786                   | ,006         | ,784      | 1,275 |
| POLITICAL PARTY OF STATE (Rep = 1, Dem = 0) | -17,176                     | 3,264      | -,457                     | -5,262                  | ,000         | ,940      | 1,064 |
| POLITICAL PARTY OF MAYOR (Rep = 1, Dem = 0) | -11,167                     | 4,052      | -,234                     | -2,756                  | ,007         | ,983      | 1,017 |

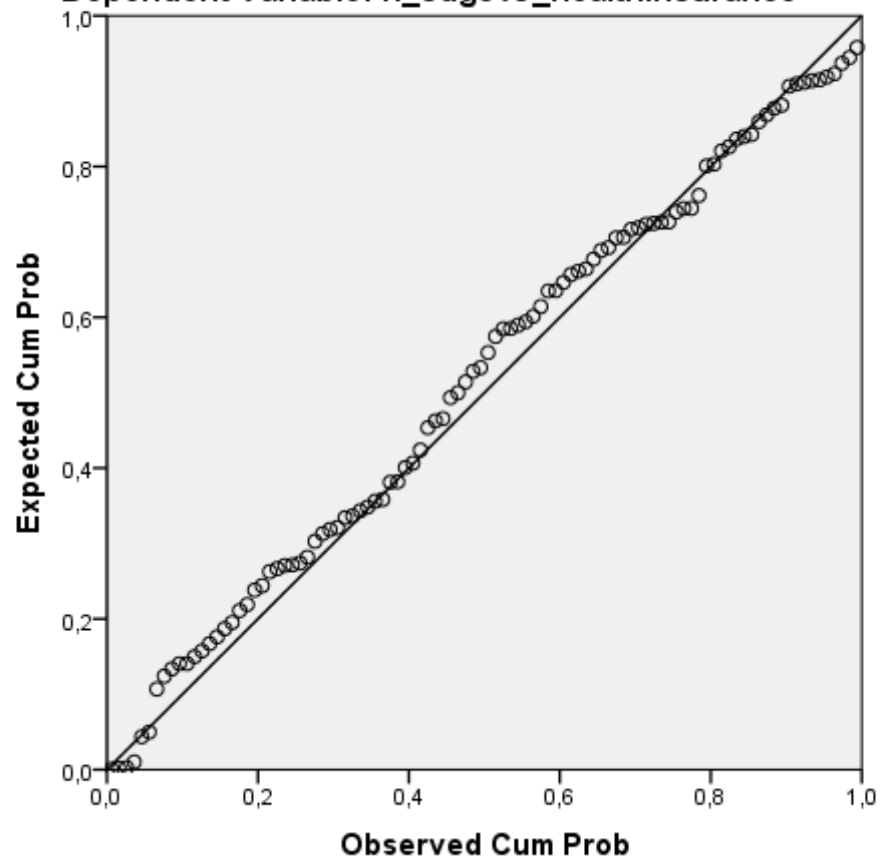
a. Dependent Variable: n\_sdg3v9\_healthinsurance

Στον πίνακα 8 παρατηρείται το γραμμικό μοντέλο πρόβλεψης για το ποσοστό του πληθυσμού με ασφάλεια υγείας σε σχέση με την αύξηση του ΑΕΠ, την ανεργία το κόμμα στο οποίο ανήκει η πολιτεία και το κόμμα στο οποίο ανήκει ο δήμαρχος της πολιτείας. Για την εύρεση του βέλτιστου μοντέλου χρησιμοποιήθηκε η μέθοδος backward. Το μοντέλο είναι στατιστικά σημαντικό,  $F(4, 95) = 11,564$ ,  $p = .000$ ,  $R^2 = 32.7\%$ . Το μοντέλο δεν είχε πρόβλημα αυτοσυσχέτισης (DurbinWatson = 2.022, αποδεκτές τιμές 1 – 3) και πολυγραμμικότητας ( $VIF < 10$ ). Επίσης, δεν υπήρχε πρόβλημα με την κανονικότητα των δεδομένων (Γράφημα 6) και με την ετεροσκεδαστικότητα (Γράφημα 6). Στατιστικά σημαντικές μεταβλητές ήταν η αύξηση του ΑΕΠ ( $b = -.151$ ,  $p = .041$ ), το κόμμα στο οποίο ανήκει ο δήμαρχος ( $b = -11,167$ ,  $p = .007$ ), το κόμμα στο οποίο ανήκει η πολιτική παράταξη της πολιτείας ( $b = -17,176$ ,  $p = .000$ ) και το ποσοστό της ανεργίας ( $b = ,200$ ,  $p = .006$ ).

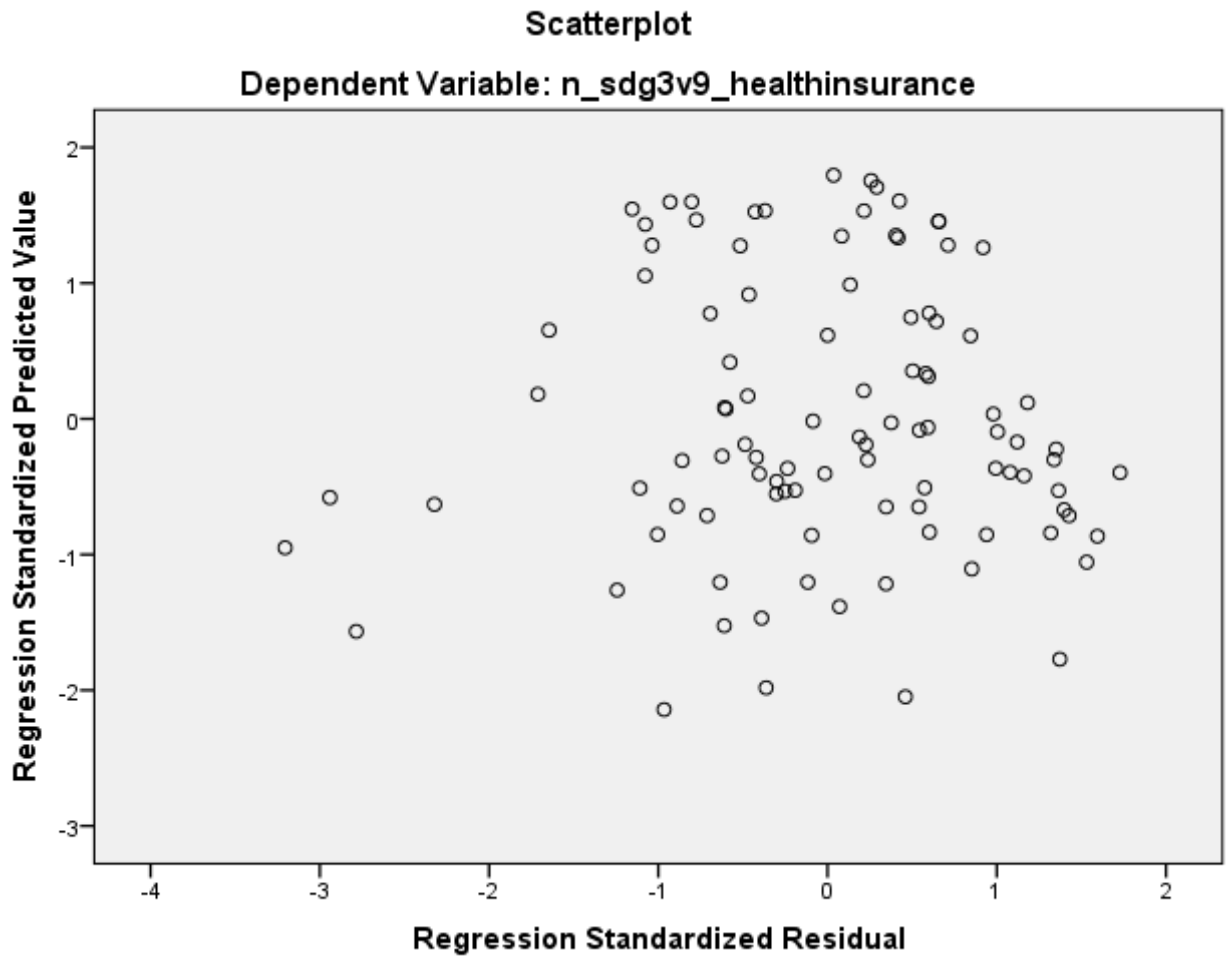


### Normal P-P Plot of Regression Standardized Residual

Dependent Variable: n\_sdg3v9\_healthinsurance



Γράφημα 3.5- Έλεγχος κανονικότητας

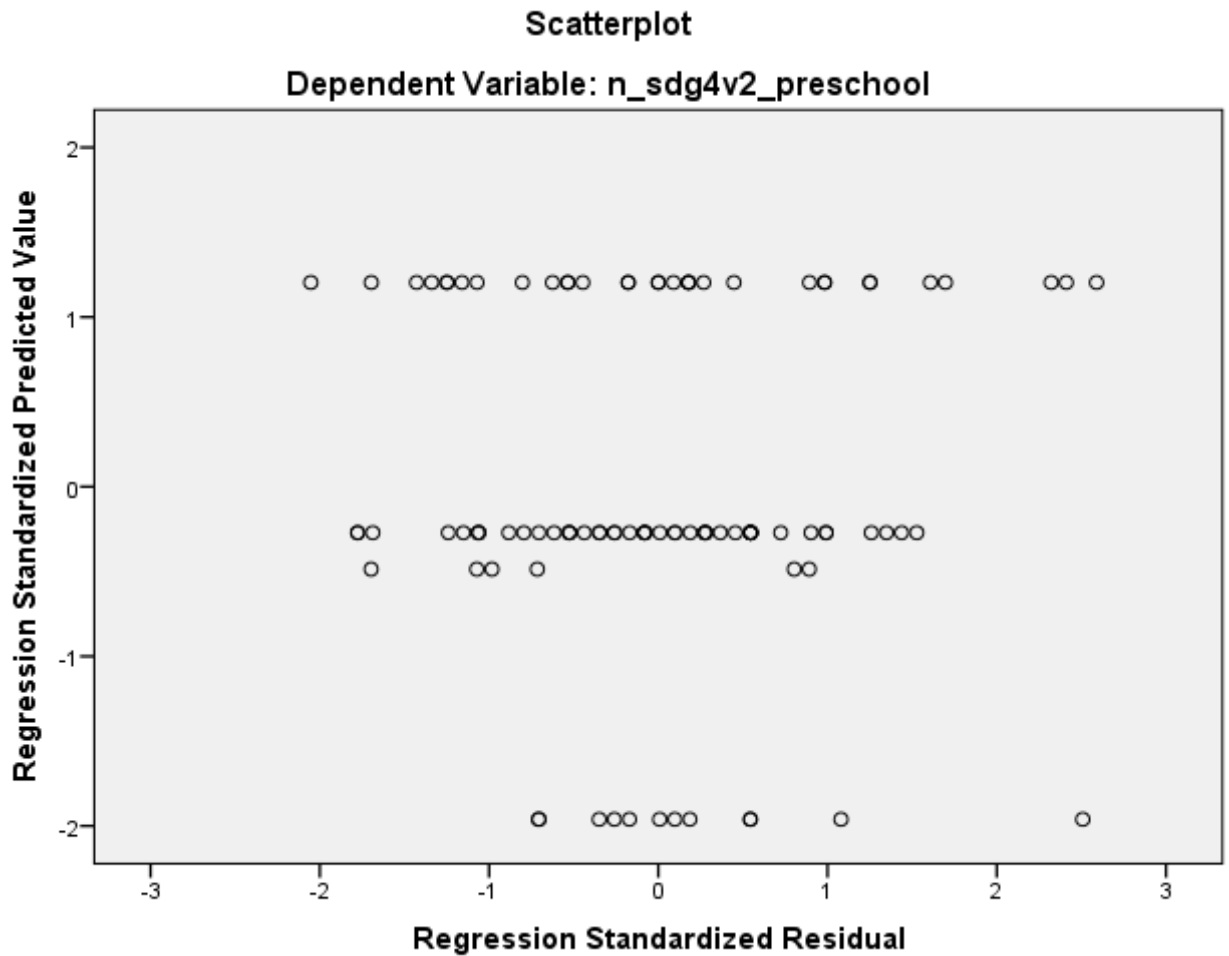


Γράφημα 3.6- Έλεγχος ετεροσκεδαστικότητας

Πίνακας 3.9- Γραμμικό μοντέλο πρόβλεψης του δείκτη για το ποσοστό του πληθυσμού παιδιών ηλικίας 3 -4 ετών που είναι εγγεγραμμένα στο σχολείο

| Model                                       | Unstandardized Coefficients |            | Standardized Coefficients |        | Collinearity Statistics |           |       |
|---|-----------------------------|------------|---------------------------|--------|-------------------------|-----------|-------|
|   | B                           | Std. Error | Beta                      | t      | Significance            | Tolerance | VIF   |
| 1 (Constant)                                | 28,410                      | 3,068      |                           | 9,260  | ,000                    |           |       |
| n_sdg8v1_GDP growth                         | -,058                       | ,053       | -,117                     | -1,098 | ,275                    | ,806      | 1,240 |
| n_sdg8v3_unemployment                       | -,009                       | ,052       | -,019                     | -,180  | ,858                    | ,784      | 1,275 |
| POLITICAL PARTY OF STATE (Rep = 1, Dem = 0) | -5,530                      | 2,373      | -,229                     | -2,331 | ,022                    | ,940      | 1,064 |
| POLITICAL PARTY OF MAYOR (Rep = 1, Dem = 0) | -6,884                      | 2,945      | -,225                     | -2,337 | ,022                    | ,983      | 1,017 |
| 2 (Constant)                                | 28,081                      | 2,448      |                           | 11,472 | ,000                    |           |       |
| n_sdg8v1_GDP growth                         | -,062                       | ,048       | -,124                     | -1,292 | ,199                    | ,970      | 1,031 |
| POLITICAL PARTY OF STATE (Rep = 1, Dem = 0) | -5,605                      | 2,324      | -,232                     | -2,412 | ,018                    | ,970      | 1,031 |
| POLITICAL PARTY OF MAYOR (Rep = 1, Dem = 0) | -6,826                      | 2,912      | -,223                     | -2,344 | ,021                    | ,995      | 1,005 |
| 3 (Constant)                                | 25,998                      | 1,849      |                           | 14,061 | ,000                    |           |       |
| POLITICAL PARTY OF STATE (Rep = 1, Dem = 0) | -6,099                      | 2,300      | -,253                     | -2,652 | ,009                    | ,997      | 1,003 |





Γράφημα 3.8- Έλεγχος ετεροσκεδαστικότητας

Πίνακας 3.10- Γραμμικό μοντέλο πρόβλεψης του δείκτη για το ποσοστό του πληθυσμού που κάτω από το όριο της φτώχειας

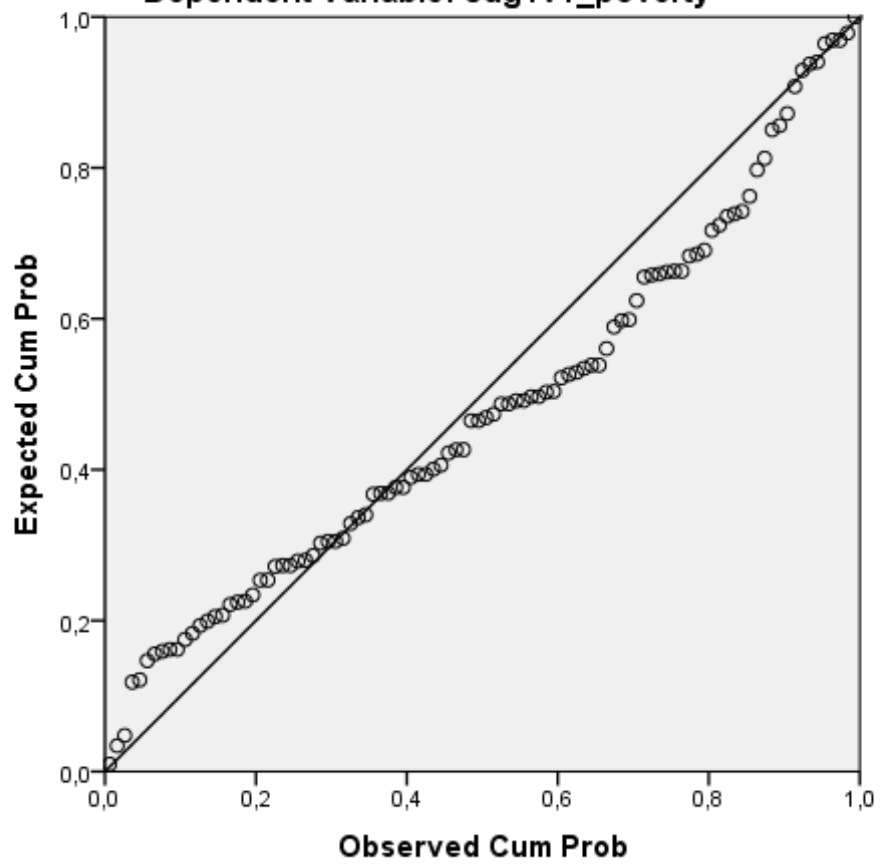
| Model                 | Unstandardized Coefficients |            | Standardized Coefficients | Collinearity Statistics |      |               |
|-----------------------|-----------------------------|------------|---------------------------|-------------------------|------|---------------|
|                       | B                           | Std. Error | Beta                      | t                       | Sig. | Tolerance VIF |
| 1 (Constant)          | 16,429                      | ,664       |                           | 24,742                  | ,000 |               |
| n_sdg8v1_GDP growth   | -,010                       | ,011       | -,073                     | -,894                   | ,373 | ,806 1,240    |
| n_sdg8v3_unemployment | -,088                       | ,011       | -,643                     | -,780                   | ,002 | ,784 1,275    |

|   |        |      |       |     |    |      |       |
|---|--------|------|-------|-----|----|------|-------|
| POLITICAL PARTY OF STATE (Rep = 1, Dem = 0) | 2,406  | ,513 | ,353  | 4,6 | ,0 | ,940 | 1,064 |
|   |        |      |       | 85  | 00 |      |       |
| POLITICAL PARTY OF MAYOR (Rep = 1, Dem = 0) | ,824   | ,637 | ,095  | 1,2 | ,1 | ,983 | 1,017 |
|   |        |      |       | 93  | 99 |      |       |
| 2 (Constant)                                | 16,290 | ,645 |       | 25, | ,0 |      |       |
|   |        |      |       | 268 | 00 |      |       |
| n_sdg8v3_unemployment                       | -,092  | ,010 | -,673 | -   | ,0 | ,944 | 1,060 |
|   |        |      |       | 8,9 | 00 |      |       |
|   |        |      |       | 72  |    |      |       |
| POLITICAL PARTY OF STATE (Rep = 1, Dem = 0) | 2,371  | ,512 | ,348  | 4,6 | ,0 | ,945 | 1,058 |
|   |        |      |       | 36  | 00 |      |       |
| POLITICAL PARTY OF MAYOR (Rep = 1, Dem = 0) | ,776   | ,634 | ,090  | 1,2 | ,2 | ,990 | 1,010 |
|   |        |      |       | 23  | 24 |      |       |
| 3 (Constant)                                | 16,459 | ,631 |       | 26, | ,0 |      |       |
|   |        |      |       | 078 | 00 |      |       |
| n_sdg8v3_unemployment                       | -,093  | ,010 | -,681 | -   | ,0 | ,950 | 1,052 |
|   |        |      |       | 9,0 | 00 |      |       |
|   |        |      |       | 81  |    |      |       |
| POLITICAL PARTY OF STATE (Rep = 1, Dem = 0) | 2,416  | ,511 | ,354  | 4,7 | ,0 | ,950 | 1,052 |
|   |        |      |       | 24  | 00 |      |       |

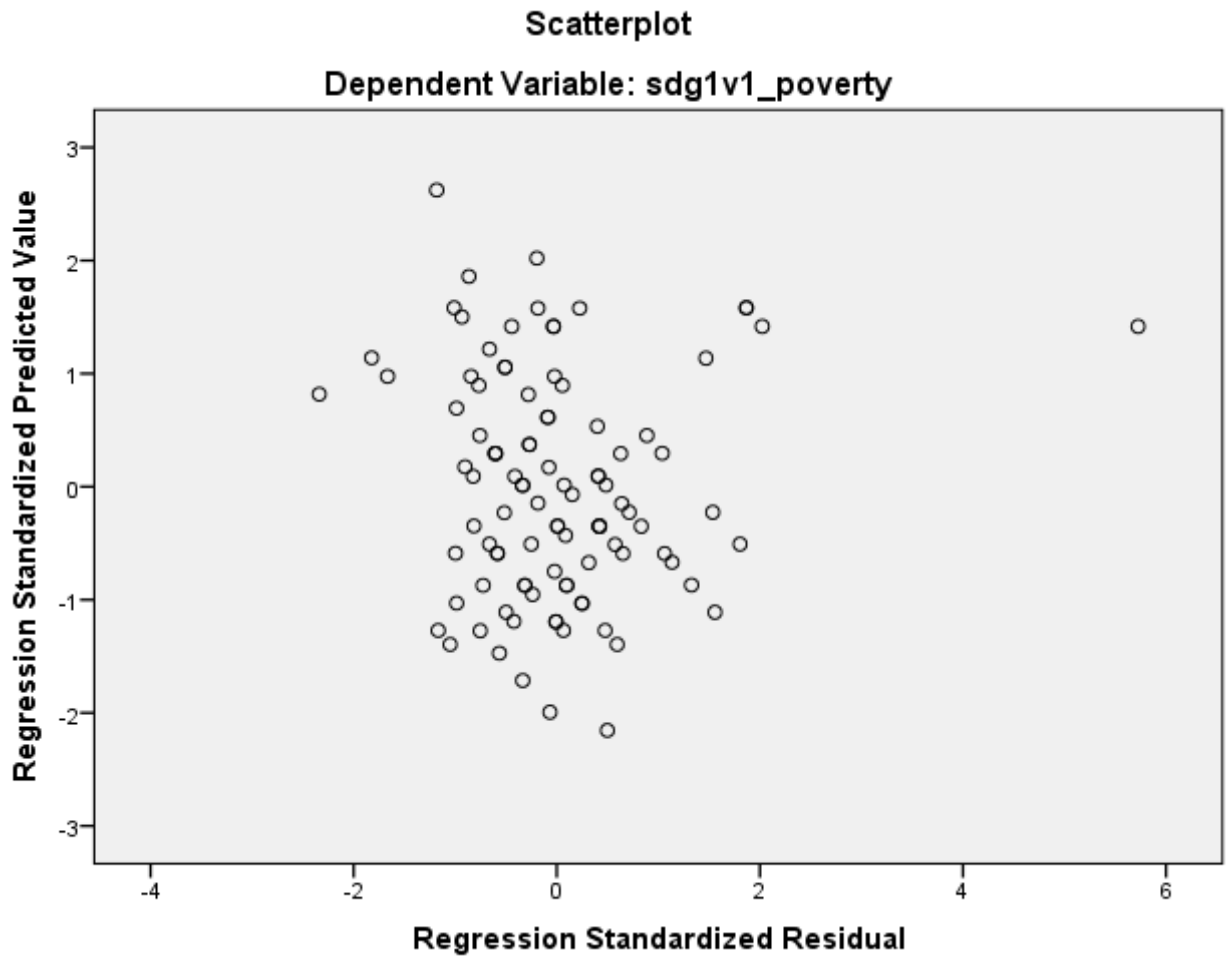
a. Dependent Variable: sgd1v1\_poverty

Στον πίνακα 3.10 παρατηρείται το γραμμικό μοντέλο πρόβλεψης για το ποσοστό του πληθυσμού κάτω από το όριο της φτώχειας σε σχέση με την αύξηση του ΑΕΠ, την ανεργία το κόμμα στο οποίο ανήκει η πολιτεία και το κόμμα στο οποίο ανήκει ο δήμαρχος της πολιτείας. Για την εύρεση του βέλτιστου μοντέλου χρησιμοποιήθηκε η μέθοδος backward. Το μοντέλο είναι στατιστικά σημαντικό,  $F(2, 97) = 45,061$ ,  $p = .002$ ,  $Rsquare = 48,2\%$ . Το μοντέλο δεν είχε πρόβλημα αυτοσυσχέτισης (DurbinWatson = 1,745, αποδεκτές τιμές 1 – 3) και πολυγραμμικότητας ( $VIF < 10$ ). Επίσης, υπήρχε πρόβλημα με την κανονικότητα των δεδομένων (Γράφημα 9) αλλά όχι με την ετεροσκεδαστικότητα (Γράφημα 10). Στατιστικά σημαντικές μεταβλητές ήταν το κόμμα στο οποίο ανήκει η πολιτική παράταξη της πολιτείας ( $b = 2,416$ ,  $p = .000$ ) και το ποσοστό της ανεργίας ( $b = -0,93$ ,  $p = .000$ ).

Normal P-P Plot of Regression Standardized Residual  
Dependent Variable: sdg1v1\_poverty



Γράφημα 3.9- Έλεγχος κανονικότητας



Γράφημα 3.10- Έλεγχος ετεροσκεδαστικότητας

Πίνακας 3.11- Γραμμικό μοντέλο πρόβλεψης του δείκτη για το ποσοστό του πληθυσμού των παιδιών που ζουν δύο φορές κάτω από το όριο της φτώχειας

| Model                 | Unstandardized Coefficients |            | Standardized Coefficients | Collinearity Statistics |      |               |
|-----------------------|-----------------------------|------------|---------------------------|-------------------------|------|---------------|
|                       | B                           | Std. Error | Beta                      | t                       | Sig. | Tolerance VIF |
| 1 (Constant)          | 11,109                      | ,604       |                           | 18,402                  | ,000 |               |
| n_sdg8v1_GDP growth   | -,019                       | ,010       | -,164                     | -1,879                  | ,063 | ,814 1,228    |
| n_sdg8v3_unemployment | -,065                       | ,010       | -,566                     | -6,300                  | ,000 | ,785 1,274    |



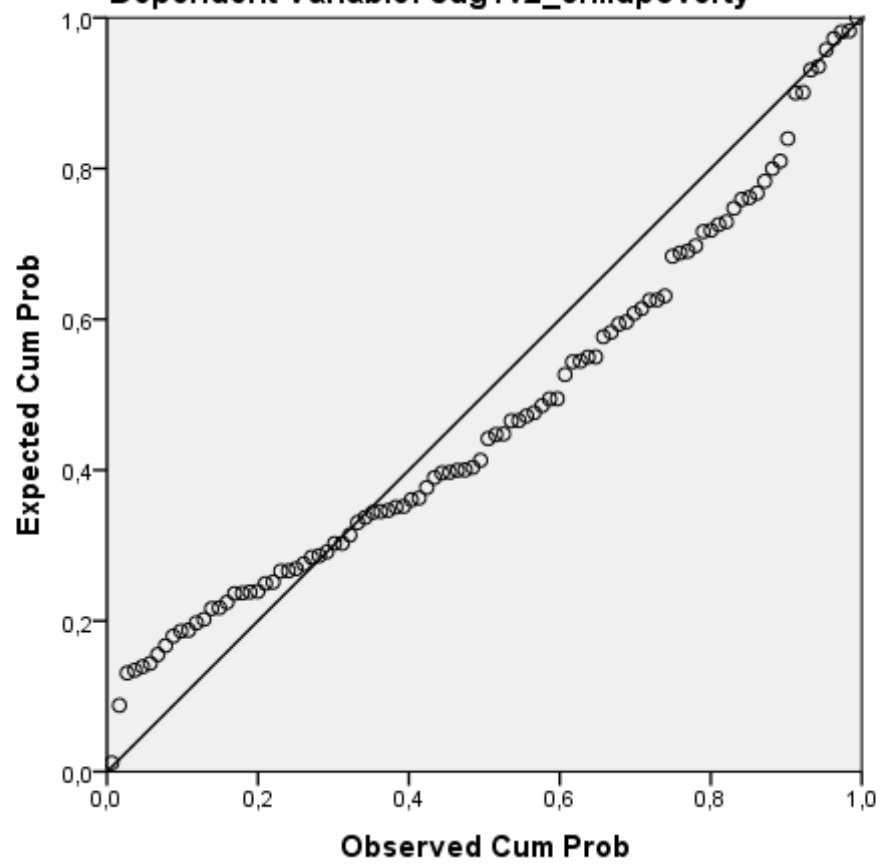
|   |        |      |       |     |    |      |       |
|---|--------|------|-------|-----|----|------|-------|
| POLITICAL PARTY OF STATE (Rep = 1, Dem = 0) | 1,739  | ,468 | ,301  | 3,7 | ,0 | ,938 | 1,066 |
|   |        |      |       | 14  | 00 |      |       |
| POLITICAL PARTY OF MAYOR (Rep = 1, Dem = 0) | ,287   | ,572 | ,040  | ,50 | ,6 | ,986 | 1,015 |
|   |        |      |       | 2   | 17 |      |       |
| 2 (Constant)                                | 11,167 | ,590 |       | 18, | ,0 |      |       |
|   |        |      |       | 921 | 00 |      |       |
| n_sdg8v1_GDP growth                         | -,019  | ,010 | -,160 | -   | ,0 | ,819 | 1,221 |
|   |        |      |       | 1,8 | 67 |      |       |
|   |        |      |       | 52  |    |      |       |
| n_sdg8v3_unemployment                       | -,066  | ,010 | -,571 | -   | ,0 | ,794 | 1,260 |
|   |        |      |       | 6,4 | 00 |      |       |
|   |        |      |       | 97  |    |      |       |
| POLITICAL PARTY OF STATE (Rep = 1, Dem = 0) | 1,752  | ,466 | ,304  | 3,7 | ,0 | ,941 | 1,063 |
|   |        |      |       | 63  | 00 |      |       |

a. Dependent Variable: sgd1v2\_childpoverty

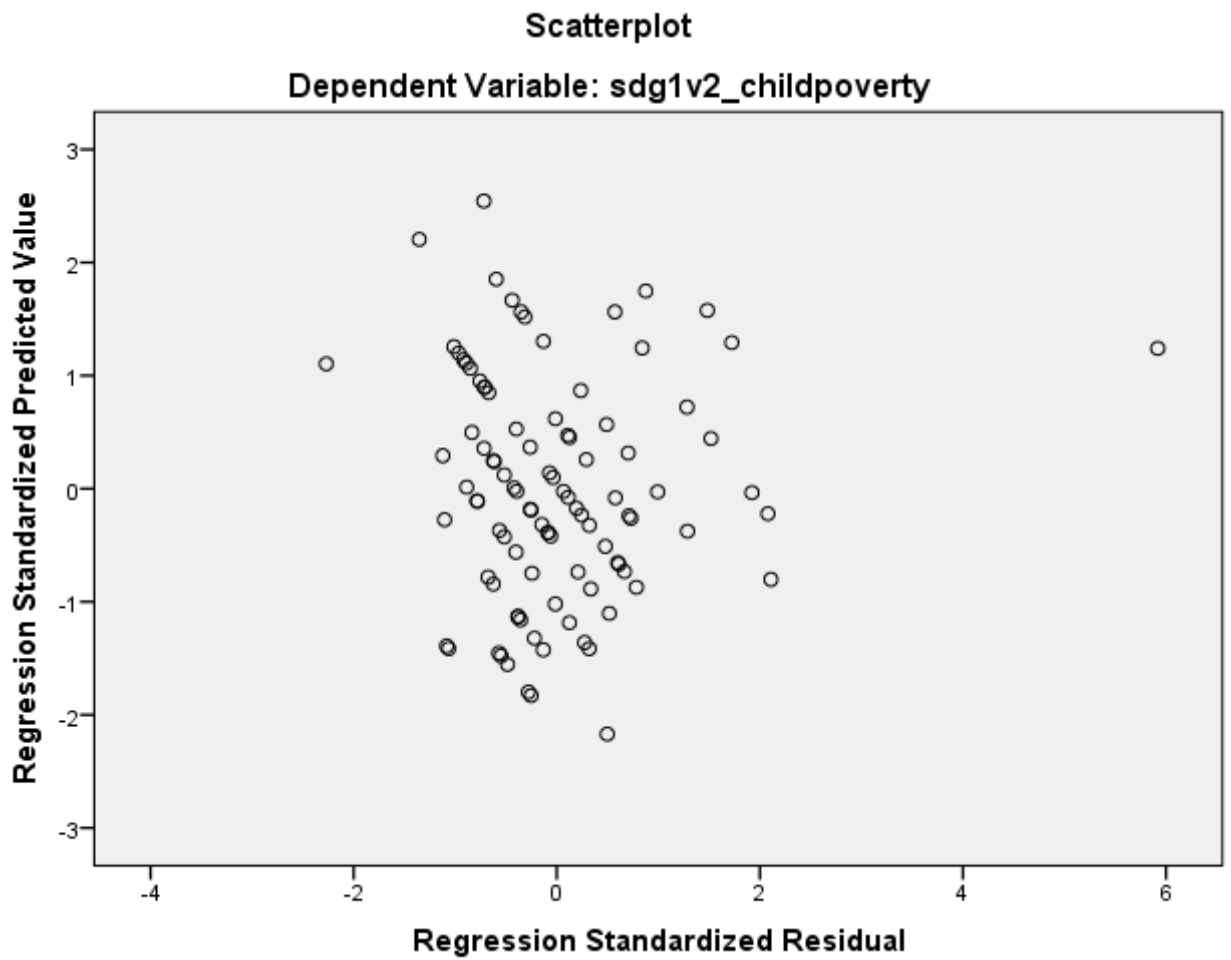
Στον πίνακα 3.11 παρατηρείται το γραμμικό μοντέλο πρόβλεψης για το ποσοστό του πληθυσμού των παιδιών που ζουν δύο φορές κάτω από το όριο της φτώχειας σε σχέση με την αύξηση του ΑΕΠ, την ανεργία το κόμμα στο οποίο ανήκει η πολιτεία και το κόμμα στο οποίο ανήκει ο δήμαρχος της πολιτείας. Για την εύρεση του βέλτιστου μοντέλου χρησιμοποιήθηκε η μέθοδος backward. Το μοντέλο είναι στατιστικά σημαντικό,  $F(3, 94) = 23,076$ ,  $p = .002$ ,  $Rsquare = 42,4\%$ . Το μοντέλο δεν είχε πρόβλημα αυτό-συσχέτισης (DurbinWatson = 1,898, αποδεκτές τιμές 1 – 3) και πολυγραμμικότητας ( $VIF < 10$ ). Επίσης, υπήρχε πρόβλημα με την κανονικότητα των δεδομένων (Γράφημα 11) αλλά όχι με την ετεροσκεδαστικότητα (Γράφημα 12). Στατιστικά σημαντικές μεταβλητές ήταν το κόμμα στο οποίο ανήκει η πολιτική παράταξη της πολιτείας ( $b = 1,752$ ,  $p = .000$ ) και το ποσοστό της ανεργίας ( $b = -0,06$ ,  $p = .000$ ).

### Normal P-P Plot of Regression Standardized Residual

Dependent Variable: sgd1v2\_childpoverty



Γράφημα 3.11- Έλεγχος κανονικότητας



Γράφημα 3.12- Έλεγχος ετεροσκεδαστικότητας

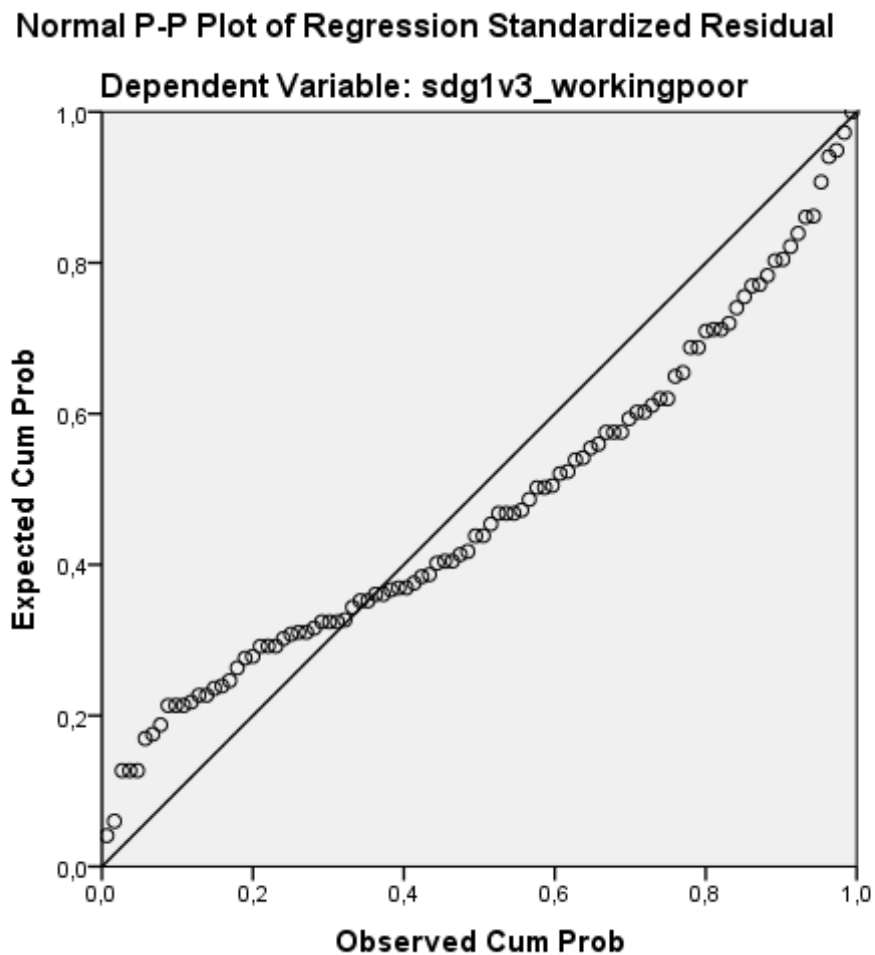
Πίνακας 3.12- Γραμμικό μοντέλο πρόβλεψης του δείκτη για το ποσοστό των εργαζομένων ηλικίας από 16 – 64 ετών που ζουν κάτω από το όριο της φτώχειας

| Model                                       | Unstandardized Coefficients |            | Standardized Coefficients | Collinearity Statistics |      |           |       |
|---|-----------------------------|------------|---------------------------|-------------------------|------|-----------|-------|
|   | B                           | Std. Error | Beta                      | t                       | Sig. | Tolerance | VIF   |
| 1 (Constant)                                | 3,048                       | ,296       |                           | 10,315                  | ,000 |           |       |
| n_sdg8v1_GDP growth                         | ,005                        | ,005       | ,094                      | 1,003                   | ,318 | ,814      | 1,228 |
| n_sdg8v3_unemployment                       | -,027                       | ,005       | -,506                     | -5,328                  | ,000 | ,785      | 1,274 |
| POLITICAL PARTY OF STATE (Rep = 1, Dem = 0) | 1,085                       | ,229       | ,411                      | 4,731                   | ,000 | ,938      | 1,066 |
| POLITICAL PARTY OF MAYOR (Rep = 1, Dem = 0) | ,445                        | ,280       | ,135                      | 1,590                   | ,115 | ,986      | 1,015 |
| 2 (Constant)                                | 3,123                       | ,286       |                           | 10,926                  | ,000 |           |       |
| n_sdg8v3_unemployment                       | -,025                       | ,005       | -,467                     | -5,383                  | ,000 | ,939      | 1,065 |
| POLITICAL PARTY OF STATE (Rep = 1, Dem = 0) | 1,099                       | ,229       | ,416                      | 4,801                   | ,000 | ,941      | 1,062 |
| POLITICAL PARTY OF MAYOR (Rep = 1, Dem = 0) | ,467                        | ,279       | ,141                      | 1,674                   | ,097 | ,992      | 1,008 |

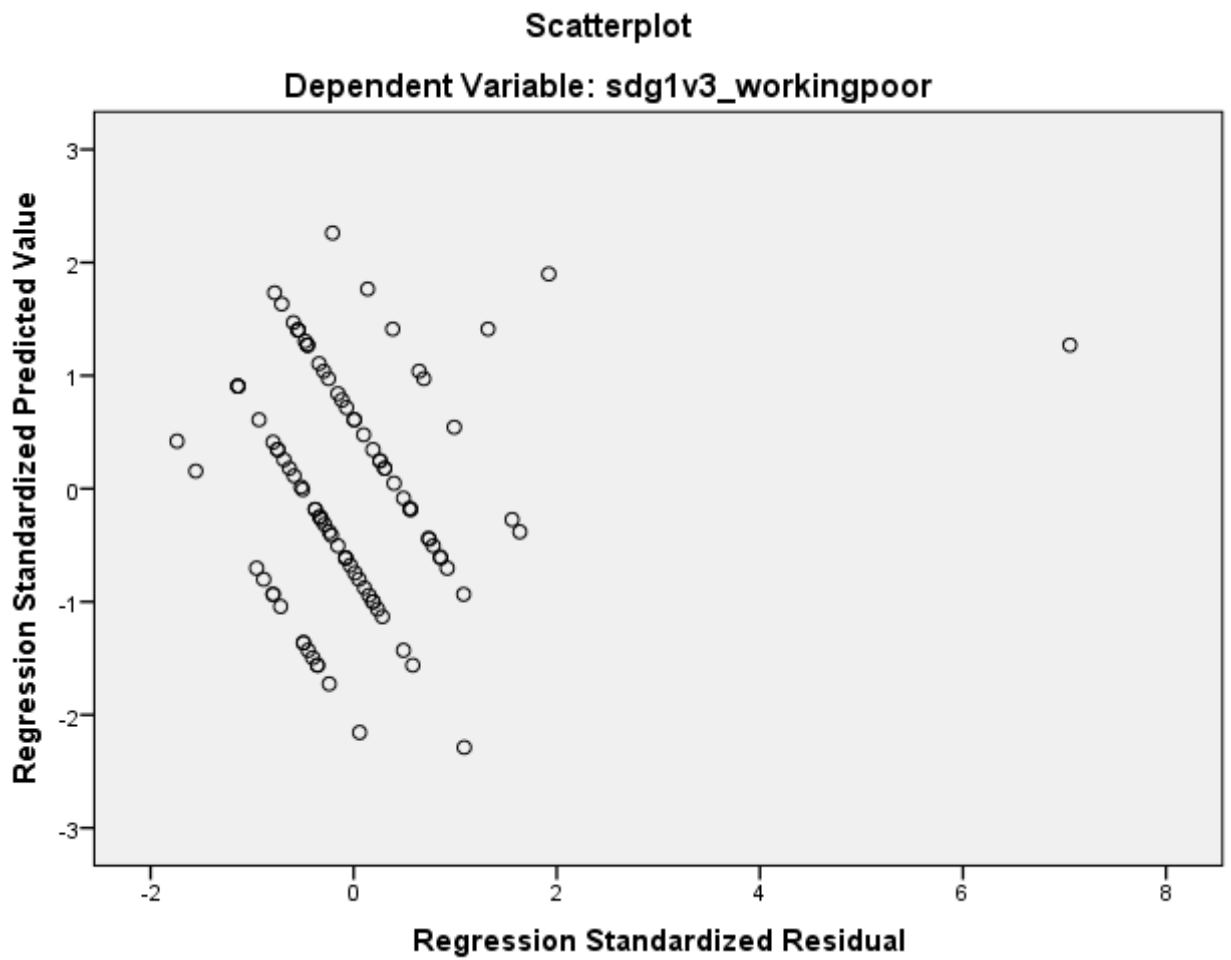
a. Dependent Variable: sgd1v3\_workingpoor

Στον πίνακα 3.12 παρατηρείται το γραμμικό μοντέλο πρόβλεψης για το ποσοστό των εργαζομένων ηλικίας από 16 – 64 ετών που ζουν κάτω από το όριο της φτώχειας σε σχέση με την αύξηση του ΑΕΠ, την ανεργία το κόμμα στο οποίο ανήκει η πολιτεία και το κόμμα στο οποίο ανήκει ο δήμαρχος της πολιτείας. Για την εύρεση του βέλτιστου μοντέλου χρησιμοποιήθηκε η μέθοδος backward. Το μοντέλο είναι στατιστικά σημαντικό,  $F(3, 94) = 15,749$ ,  $p = .000$ ,  $Rsquare =$

33,4%. Το μοντέλο δεν είχε πρόβλημα αυτοσυσχέτισης (DurbinWatson = 1,757, αποδεκτές τιμές 1 – 3) και πολυγραμμικότητας (VIF<10). Επίσης, υπήρχε πρόβλημα με την κανονικότητα των δεδομένων (Γράφημα 13) αλλά όχι με την ετεροσκεδαστικότητα (Γράφημα 14). Στατιστικά σημαντικές μεταβλητές ήταν το κόμμα στο οποίο ανήκει η πολιτική παράταξη της πολιτείας ( $b = 1,099$ ,  $p = .000$ ) και το ποσοστό της ανεργίας ( $b = -0,02$ ,  $p = .000$ ).



Γράφημα 3.13- Έλεγχος κανονικότητας



Γράφημα 3.14- Έλεγχος ετεροσκεδαστικότητας

## Κεφάλαιο 4<sup>ο</sup> Συμπεράσματα-Συζήτηση

### 4.1 Συμπεράσματα

Από την ανάλυση που πραγματοποιήθηκε βρέθηκε ο δείκτης ανεργίας να συσχετίζεται θετικά με τον δείκτη Gini που σημαίνει ότι όταν αυξάνεται το ποσοστό ανεργίας τότε αυξάνονται και οι ανισότητες στην κοινωνία.

Επιπλέον, βρέθηκε στους δήμους που ανήκουν στο δημοκρατικό κόμμα έναντι των δήμων που ανήκουν στο ρεπουμπλικανό κόμμα να εμφανίζουν υψηλότερο ποσοστό ασφαλισμένων ατόμων, παιδιών ηλικίας 3 – 4 ετών που είναι εγγεγραμμένα στο σχολείο ενώ παράλληλα εμφανίζουν χαμηλότερο ποσοστό φτώχειας και εργαζομένων που δουλεύουν με πλήρες ωράριο αλλά ζουν κάτω από το όριο της φτώχειας.

Από την γραμμική παλινδρόμηση βρέθηκε ότι όταν αυξάνεται το ποσοστό της ανεργίας τότε αυξάνονται οι ανισότητες στην κοινωνία. Επιπλέον όταν ο δήμαρχος ανήκει στο ρεπουμπλικανό κόμμα έναντι του δημοκρατικού κόμματος βρέθηκε το επίπεδο ανισότητας να είναι υψηλότερο κατά 8,71 ποσοστιαίες μονάδες.

Από το δεύτερο γραμμικό μοντέλο με εξαρτημένη μεταβλητή τον δείκτη ισότητας στους δήμους βρέθηκε ότι όταν αυξάνεται η ποσοστιαία μεταβολή του ΑΕΠ τότε βελτιώνεται το επίπεδο ισότητας στους δήμους. Τέλος, βρέθηκε ότι όταν ο δήμαρχος ανήκει στο ρεπουμπλικανό κόμμα έναντι του δημοκρατικού κόμματος βρέθηκε το επίπεδο ισότητας στους δήμους να είναι χαμηλότερο (δηλαδή χειρότερο) κατά 38,503 ποσοστιαίες μονάδες.

Από το τρίτο γραμμικό μοντέλο για το ποσοστό του πληθυσμού με ασφάλεια υγείας βρέθηκε ότι όταν ο δήμαρχος ή η πολιτική παράταξη ανήκει στο ρεπουμπλικανό κόμμα έναντι του δημοκρατικού κόμματος τότε το ποσοστό του πληθυσμού με ασφάλεια υγείας είναι χαμηλότερο κατά 11,17 και 17,18 ποσοστιαίες μονάδες. Επιπλέον, η αύξηση του ΑΕΠ επιδρά αρνητικά στο ποσοστό του πληθυσμού με ασφάλεια υγείας. Πιθανόν, αυτό να οφείλεται στο ότι μειώνονται οι κοινωνικές παροχές και παράλληλα οι πολίτες έχουν μεγαλύτερο εισόδημα για να καλύψουν ιδιωτικά τις ανάγκες τους ως προς την ασφάλεια υγείας. Επιπρόσθετα, βρέθηκε ότι το ποσοστό της ανεργίας επιδρά θετικά στην αύξηση του ποσοστού των πολιτών με ασφάλεια. Η στρεβλή αυτή σχέση πιθανόν να οφείλεται στο ότι υπάρχουν άλλοι παράγοντες που επιδρούν στο ποσοστό του πληθυσμού με ασφάλεια υγείας ή στο ότι οι αυξημένες κοινωνικές παροχές (μεγαλύτερο ποσοστό πληθυσμού με ασφάλεια υγείας έναντι των αντοχών της οικονομίας) αυξάνουν το ποσοστό της ανεργίας.

Από το τέταρτο γραμμικό μοντέλο βρέθηκε ότι όταν ο δήμαρχος ή η πολιτική παράταξη ανήκει στο ρεπουμπλικανό κόμμα έναντι του δημοκρατικού κόμματος τότε το ποσοστό του πληθυσμού παιδιών ηλικίας 3 -4 ετών που είναι εγγεγραμμένα στο σχολείο είναι χαμηλότερο κατά 6,98 και 6,09 ποσοστιαίες

μονάδες. Δηλαδή, στην περίπτωση του ρεπουμπλικάνο κόμματος έναντι του δημοκρατικού κόμματος οι κοινωνικές παροχές είναι λιγότερες.

Από το πέμπτο, έκτο και έβδομο γραμμικό μοντέλο βρέθηκε ότι όταν η πολιτική παράταξη που ανήκει στο ρεπουμπλικάνο κόμμα έναντι του δημοκρατικού κόμματος τότε το ποσοστό του πληθυσμού που ζουν κάτω από το όριο της φτώχειας ή το ποσοστό του πληθυσμού των παιδιών που ζουν δύο φορές κάτω από το όριο της φτώχειας ή το ποσοστό των εργαζομένων ηλικίας από 16 – 64 ετών που ζουν κάτω από το όριο της φτώχειας αυξάνεται κατά 2, 1,75 και 1,09 ποσοστιαίες μονάδες αντίστοιχα. Επίσης, βρέθηκε το ποσοστό της ανεργίας να επιδρά αρνητικά στο ποσοστό του πληθυσμού που ζουν κάτω από το όριο της φτώχειας, στο ποσοστό του πληθυσμού των παιδιών που ζουν δύο φορές κάτω από το όριο της φτώχειας και στο ποσοστό των εργαζομένων ηλικίας από 16 – 64 ετών που ζουν κάτω από το όριο της φτώχειας. Πιθανόν αυτή η στρεβλή σχέση οφείλεται στο ότι υπάρχουν άλλοι ενδιάμεσοι παράγοντες μεταξύ της ανεργίας και είτε του ποσοστού του πληθυσμού των παιδιών που ζουν δύο φορές κάτω από το όριο της φτώχειας ή του ποσοστού του πληθυσμού που ζουν κάτω από το όριο της φτώχειας ή του ποσοστού των εργαζομένων ηλικίας από 16 – 64 ετών που ζουν κάτω από το όριο της φτώχειας.



## 4.2 Συζήτηση

Η αναφορά στο δείκτη Gini η οποία έγινε μέσα από τη παρούσα μελέτη επιβεβαιώνει και επιβεβαιώνεται από την αναφορά του Anderson(2018) βάση της οποίας η ανεργία προάγει τις ανισότητες και ότι οδηγεί στην αύξηση των ατόμων που ζούνε κάτω από το όριο της φτώχειας. Συγκεκριμένα η ανεργία θα συμβάλει στη θέση του Anderson(2018) ότι μέχρι το 2030 θα αυξηθεί ο αριθμός των ανθρώπων που ζουν κάτω από το όριο της φτώχειας δηλαδή επιβιώνουν με λιγότερα από 1,25\$ την ημέρα.

Η κατάσταση η οποία περιγράφεται στην ενότητα της ανάλυσης αναφορικά με τις ανισότητες στην κοινωνία της Αμερικής, οι οποίες είναι πιο έντονες σε ρεπουμπλικανικούς δήμους αιτιολογείται μέσα από τη θεωρία μια και διαπιστώνεται όπως αναφέρεται και στο Philips et al.(2019) ότι σε συντηρητικά καθεστώτα όπως αυτά που εμφανίζονται στη Λατινική Αμερική και την Αφρική οι ανισότητες είναι πιο έντονες, δημιουργούνται κοινωνικά στρώματα και συγκεκριμένα υπάρχουν πολίτες δυο ταχυτήτων αυτοί που ζουν μέσα στο πλούτο και αυτοί που ζουν κάτω από το όριο της φτώχειας, υπάρχει και η μεσαία τάξη αλλά είναι πιο αδύναμη σε συντηρητικές πολιτείες, όπως αυτές των δήμων της Αμερικής και συντηρητική διακυβέρνηση.

Μέσα από τον Ubbin(2020) αιτιολογείται και το γιατί οι δήμοι που διοικούνται από ρεπουμπλικάνους έχουν χαμηλότερο ποσοστό ασφαλισμένων από αυτούς που διοικούνται από δημοκρατικούς συγκεκριμένα σε αυτό συμβάλει η γραφειοκρατία που τους χαρακτηρίζει, η έλλειψη τεχνολογικών υποδομών αλλά και η αδυναμία πολλών πολιτών να ζήσουν υπό φυσιολογικές συνθήκες πράγμα που έχουν τη δυνατότητα να κάνουν οι έχοντας οικονομική ευχέρεια. Πρόσθετες μελέτες όπως των Sasana&Kusuma(2018) αλλά και των Anderson et al.(2018) που έγιναν σε υποανάπτυκτες χώρες στην Ασία και την Αφρική όπου υπάρχουν συντηρητικές κυβερνήσεις και γενικά συντηρητικές διοικήσεις αιτιολογείται το γιατί υπάρχει χαμηλό επίπεδο ισότητας στους ρεπουμπλικανικούς δήμους, γιατί υπάρχει χαμηλό ποσοστό ασφάλισης, προγραμμάτων υγείας στους πολίτες και ειδικά στα παιδιά και γενικά γιατί δεν υπάρχει ισότητα. Η συντηρητική πολιτική έναντι της δημοκρατικής αποδέχεται τις ανισότητες ως κάτι φυσιολογικό και τις καλλιεργεί, θεωρεί δεδομένη την ενίσχυση κάποιων ομάδων έναντι άλλων.

Ο Huangetal(2018) αναφέρεται στη διαστρέβλωση των θεσμών, στη προβληματική που παρουσιάζουν και στη παρουσίαση στρεβλών πραγματικοτήτων όπως συμβαίνει όταν για παράδειγμα η αύξηση της ανεργίας ενισχύει τη δημόσια ασφάλεια στο ποσοστό των πολιτών. Αυτό έχει να κάνει με τη μη λειτουργική μελέτη και διαχείριση των δεδομένων, με τη μελέτη στατιστικών δεδομένων χωρίς όμως να αναγνωρίζεται η πραγματικότητα, αυτό οδηγεί πολλές φορές σε μια μη υπαρκτή πραγματικότητα. Για παράδειγμα τα ρεπουμπλικανικά κόμματα στους δήμους που ελέγχουν στις ΗΠΑ για να καλύψουν τις ανισότητες αυξάνουν τις κοινωνικές παροχές αυτό αυτόματα αυξάνει την ασφάλιση των πολιτών, δεν μειώνει όμως την ανεργία, δεν τους δίνει εργασία, τους διατηρεί κάτω από το όριο της φτώχειας. Ο Kuznets(1955) μιλά για αυτό από το 1955 η αυξημένη μετανάστευση στις ΗΠΑ συνέβαλε στη μεγέθυνση των ανισοτήτων, η

ασφάλιση δεν ήταν παράγον προόδου αλλά παράγον στρέβλωσης της πραγματικότητας και της ανάγκης των ΗΠΑ να δείξουν κάτι διαφορετικό από αυτό που πραγματικά ισχύει.

Ύστερες μελέτες του Farnk(2009) των Shink(2014) επιβεβαιώνουν τα παρόντα ευρήματα αναφορικά με τη συντηρητικότητα των ρεπουμπλικανικών δήμων με τη καλλιέργεια ανισοτήτων με το χαμηλό ποσοστό μόρφωσης, ενώ όπως αναφέρουν τα δημοκρατικά λειτουργούν διαφορετικά είναι πιο λειτουργικά για τον άνθρωπο δίνουν βαρύτητα στις αυξημένες παροχές, στην ενίσχυση της παιδείας, στη μείωση της φτώχειας, στη καταπολέμηση των ανισοτήτων.

Ακόμα με βάση τις παραπάνω μελέτες όπου ειδικά η δεύτερη των Shink(2014) έκανε μεγάλη έρευνα σε 16 πολιτείες και διαπίστωσε ότι το καθεστώς διακυβέρνησης τους καθόρισε σε μεγάλο βαθμό και τον τρόπο λειτουργίας τους σε επίπεδο οικονομίας, ασφάλισης, βιοτικού επιπέδου κ.λ.π επιβεβαιώθηκαν τα συμπεράσματα από το πέμπτο, έκτο και έβδομο γραμμικό μοντέλο σε σχέση με τη συμβολή της πολιτικής παράταξης στην ευρύτερη λειτουργία τους αλλά και γενικότερα σε σχέση με τον τρόπο διαβίωσης των ανθρώπων που ζουν σε αυτές και πλαισιώνουν τον ευρύτερο πληθυσμό τους. Σε γενικές γραμμές τα ερευνητικά αποτελέσματα της παρούσας μελέτης σε μεγάλο βαθμό επιβεβαίωσαν τη θεωρία δίνοντας ολοκληρωμένη εικόνα για το πώς το πολιτικό καθεστώς και οι απόψεις του σε σχέση με τη λειτουργία μιας κοινωνίας καθορίζει τον τρόπο ζωής και το βιοτικό επίπεδο των πολιτών. Η παρούσα έρευνα ενίσχυσε σε επίπεδο συμπερασμάτων τις προγενέστερες έρευνες αφού επιβεβαίωσε τα αποτελέσματα τους δείχνοντας ότι μέσα στα χρόνια η κατάσταση επιδεινώθηκε αντί να βελτιωθεί. Ουσιαστικά οι κοινωνικές ανισότητες συνεχίζουν να υπάρχουν λόγω κυρίως της αδυναμίας των πολιτικών συστημάτων να τις αντιμετωπίσουν και να τις περιορίσουν, ειδικά τα συντηρητικά καθεστώτα συνεχίζουν να προάγουν τις ανισότητες περισσότερο από τα δημοκρατικά και αυτό είναι αποτέλεσμα τις γενικότερης φιλοσοφίας τους η οποία βασίζεται κυρίως στην άποψη ότι είναι λογικό να υπάρχουν κοινωνικές ανισότητες δεδομένου ότι κάποιες ομάδες ανθρώπων μέσα στη κοινωνία μπορούν να έχουν ένα καλύτερο βιοτικό επίπεδο ακόμα και αν αυτό λειτουργεί εις βάρος του βιοτικού επιπέδου μιας άλλης κατηγορίας πολιτών, η οποία ζει σε χειρότερες συνθήκες ακόμα και κάτω από το όριο της φτώχειας.

Η ΗΠΑ είναι μια χώρα που προάγει τη δημοκρατία όμως σε μεγάλο βαθμό είναι συντηρητική, η διακυβέρνηση Τραμπ ενίσχυσε τη κατάσταση αυτή δεδομένης της συντηρητικής πολιτικής του και των ευρύτερων συντηρητικών του απόψεων, οι οποίες λειτουργούσαν με γνώμονα τη κάλυψη των αναγκών των λίγων αυτών που διαχειρίζονταν και συνεχίζουν να το κάνουν το πλούτο. Δεν υπήρξαν μέσα από τη παρούσα έρευνα συγκεκριμένες διαπιστώσεις σε σχέση με τη πανδημία, το σίγουρο είναι ότι αυτή θα ενισχύσει τις κοινωνικές ανισότητες, δεδομένου ότι επηρεάζει σε παγκόσμιο επίπεδο τις οικονομίες, αναγκάζει τις χώρες και τις ΗΠΑ να διαθέσουν πόρους στην υγεία, τους οποίους αργότερα θα τις στερήσουν από τις κοινωνικές δομές και με αυτό τον τρόπο θα ενισχυθεί η ανισότητα, η φτώχεια και θα μεγαλώσει το χάσμα μεταξύ πλούσιων και φτωχών.

Ο Bekeretal (2020) αλλά και ο Autor (2020) υπέδειξαν μέσα από τις μελέτες τους τη δυναμική της πανδημίας στην ανάδειξη των κοινωνικών ανισοτήτων, διότι όπως αναφέρουν η πανδημία έφερε στην επιφάνεια παθογένειες ακόμα και χωρών όπως οι ΗΠΑ, οι οποίες είχαν μεγάλη ισχύ. Με δεδομένη την οργάνωση των ΗΠΑ είναι φυσικό να γίνεται κατανοητό, γιατί μικρότερα κράτη επηρεάστηκαν και θα επηρεαστούν ακόμα πιο πολύ στο μέλλον, λόγω της πανδημίας και των επιδράσεων της. Στο μέλλον προτείνεται με βάση τη παρούσα έρευνα και με βάση την πανδημία που βρίσκεται ήδη στο 2 έτος της να γίνουν πρόσθετες έρευνες στις ΗΠΑ αλλά και στην Ευρώπη, στην Αφρική, στην Ασία, στην Ωκεανία και να εξαχθούν συγκριτικά συμπεράσματα για τις επιπτώσεις της πανδημίας, για το πώς ενισχύθηκαν οι κοινωνικές ανισότητες αλλά και για το πώς το πολιτικό σύστημα λειτούργησε με βάση τη φιλοσοφία του, αλλού θετικά και αλλού αρνητικά προάγοντας είτε ένα σύστημα δικαιοσύνης είτε ένα σύστημα ανισοτήτων το οποίο επέφερε για ακόμα μια φορά συγκεκριμένες ομάδες ανθρώπων σε μια αδιέξοδη κατάσταση. Η συνεχή μελέτη ειδικά σε περιόδους κρίσης όπως τη περίοδο του COVID-19 ίσως βοηθήσει τις κοινωνίες και τα διάφορα πολιτικά συστήματα να κατανοήσουν τα λάθη τους και να κάνουν τις κατάλληλες επενδύσεις, ώστε να καταφέρουν να βελτιώσουν το ευρύτερο επίπεδο ζωής των πολιτών δίνοντας σε αυτούς και τα παιδιά τους να έχουν ένα καλύτερο επίπεδο ζωής τώρα αλλά και στο εγγύς μέλλον.

## Βιβλιογραφία

- Akobeng, E. (2017). Gross Capital Formation, Institutions and Poverty in Sub-Saharan Africa. *Journal of Economic Policy Reform*, 20(2), 136-164.
- Anderson, E., d'Orey, M. A. J., Duvendack, M., & Esposito, L. (2018). Does government spending affect income poverty? A meta-regression analysis. *World Development*, 103, 60-71.
- Bahmani-Oskooee, M. (2018), "Recent Trends in the J-Curve", in *Encyclopedia of International Economics and Global Trade*, edited by Francisco L. Rivera-Batiz and published by
- Bahmani-Oskooee, M., & Motavallizadeh-Ardakani, A. (2018). On the effects of income volatility on income distribution: Asymmetric evidence from state level data in the US. *Research in Economics*, 72(2), 224-239.
- Baker, S. R., Farrokhnia, R. A., Meyer, S., Pagel, M., & Yannelis, C. (2020). How does household spending respond to an epidemic? Consumption during the 2020 COVID-19 pandemic. *The Review of Asset Pricing Studies*, 10(4), 834-862.
- Bouincha, M., & Karim, M. (2018). Income inequality and economic growth: An analysis using a panel data. *International Journal of Economics and Finance*, 10(5), 242-253.
- Breen, R. and García-Peñalosa, C. (2005). Income inequality and macroeconomic volatility: an empirical investigation. *Review of Development Economics*, 9(3), 380-398.
- Calderón, C., & Levy-Yeyati, E. L. (2009). Zooming in: from aggregate volatility to income distribution. Policy Research Working Paper, World Bank.
- Caroli, E. and García-Peñalosa, C. (2002). Risk aversion and rising wage inequality. *Economics Letters*, 77(1), 21-26.
- Checchi, D. and García-Peñalosa, C. (2004). Risk and the distribution of human capital. *Economics Letters*, 82(1), 53-61.
- Frank, Mark W. (2009), "Inequality and Growth in the United States: Evidence from a New State-Level Panel of Income Inequality Measures", *Economic Inquiry*, Vol. 47, pp. 55-68.
- Gourinchas, P. O. (2020). Flattening the pandemic and recession curves. *Mitigating the COVID Economic Crisis: Act Fast and Do Whatever*, 31, 57-62.
- Hausmann, R. and Gavin, M. (1997). Securing stability and growth in a shock prone region: the policy challenge for Latin America. In: Hausmann, R. and H. Reisen (Eds.), *Securing Stability and Growth in Latin America*. OECD. Paris.
- Huang, C. J., & Ho, Y. H. (2018). The Impact of Governance on Income Inequality in Ten Asian Countries. *Journal of Reviews on Global Economics*, 7, 217-224.
- Huang, H-C., Fang, W-S., Miller, S. M., and Yeh, C-C (2015). "The Effect of Growth Volatility on Income Inequality", *Economic Modelling*, Vol. 45, 212-222.

- Iqbal, A., & Mehar, A. (2015). Governance Issues in Pakistan and their Impact on Income Inequality. *IBT Journal of Business Studies (JBS)*, 2(2).
- Jung, S. M., & Cha, H. E. (2021). Financial development and income inequality: evidence from China. *Journal of the Asia Pacific Economy*, 26(1), 73-95.
- Koomson, I., Villano, R. A., & Hadley, D. (2020). Effect of financial inclusion on poverty and vulnerability to poverty: Evidence using a multidimensional measure of financial inclusion. *Social Indicators Research*, 149(2), 613-639.
- Kuznets, S. (1955). "Economic Growth and Income Inequality," *American Economic Review*, 45, 1-28.
- Laursen, T. and Mahajan, S. (2005). Volatility, income distribution, and poverty. *Managing*
- Lutz, B., Cho, D., Crane, L., Ratner, D., Peterman, W., Villar, D., ... & Goldar, M. (2020, November). An evaluation of the paycheck protection program using administrative payroll microdata. In *113th Annual Conference on Taxation*. NTA.
- Meo, M. S., Khan, V. J., Ibrahim, T. O., Khan, S., Ali, S., & Noor, K. (2018). Asymmetric impact of inflation and unemployment on poverty in Pakistan: new evidence from asymmetric ARDL cointegration. *Asia Pacific Journal of Social Work and Development*, 28(4), 295-310.
- Merid, A., & Bekele, D. (2019). Determinants of poverty in rural Ethiopia: Evidence from Tentaworeda, Amhara Region. *Journal of Sustainable Rural Development*, 3(1), 3-14.
- Motaghi, S.; Ranjbar Fallah, M.R.; Ebrahimi, S. (2020). An Analytical Examination of the Effects of Financial Development on Poverty. *Int. J. Financ. Manag. Account.* 5, 107–113.
- Ngangu, N. (2020). Financial Sector Development and Open Economy for Income Inequality Reduction: A Panel Fixed Model Analysis. *Int. J. Econ. Financ.* 12, 1-33.
- Olafsson, A., & Pagel, M. (2018). The liquid hand-to-mouth: Evidence from personal finance management software. *The Review of Financial Studies*, 31(11), 4398-4446.
- Pesaran, M. H., Shin, Y., & Smith, R. J. (2001). Bounds testing approaches to the analysis of level relationships. *Journal of applied econometrics*, 16(3), 289-326.
- Philips, A.Q.; Souza, F.D.; Whitten, G.D. (2019). Globalization and comparative compositional inequality. *Political Sci. Res. Methods*, 8, 509–525.
- Sasana, H., & Kusuma, P. (2018). Government expenditure and poverty in Indonesia. *KnE Social Sciences*, 142-153.
- Scheidel Walter. (2018). *The great leveler: Violence and the history of inequality from the stone age to the twenty-first century*. Princeton University Press.
- Shin, Y., B. C. Yu, and M. Greenwood-  
Nimmo (2014) "Modelling Asymmetric Cointegration and Dynamic Multipliers in a Nonlinear ARDL Framework" *Festschrift in Honor of Peter Schmidt: Econometric Methods and Applications*, eds. by R. Sickels and W. Horrace : Springer, 281-314.

- Steve, C. (2020). *Early economic impacts of covid-19 in europe: A view from the grid*. Technical report, University of Chicago.
- Uddin, M. N. (2020). Bangladesh: Income Inequality and Globalization. *Asian Business Review*, 10(1), 43-52.
- Vo, D. H., Nguyen, T. C., & Tran, N. P. (2019). What factors affect income inequality and economic growth in middle-income countries?. *Journal of Risk and Financial Management*, 12(1), 40.